

EUF

**Exame Unificado
das Pós-graduações em Física**

Para o segundo semestre de 2016

Respostas esperadas

Parte 1

- **Estas são sugestões de possíveis respostas.**
Outras possibilidades também podem ser consideradas corretas, desde que equivalentes às respostas sugeridas abaixo.

Q1. (a) Sim, pois a única força capaz de gerar o torque para que a esfera role sem deslizar é o atrito.

(b) Sim, pois o atrito é estático e não realiza trabalho, uma vez que a velocidade do ponto de contato entre a esfera e o plano inclinado é nula (rolamento sem deslizamento).

(c) Tomando a base do plano como o zero de energia potencial gravitacional, a energia mecânica inicial é apenas potencial gravitacional, dada por $E_i = mgh$. Na base do plano inclinado, a energia mecânica é puramente cinética, dada pela energia cinética de translação do centro de massa (CM) mais a energia de rotação em torno do CM, ou seja, $E_f = mv^2/2 + I\omega^2/2$, onde v e ω são, respectivamente, as velocidades de translação do CM e angular na base do plano. Por conservação de energia mecânica,

$$mgh = \frac{1}{2}mv^2 + \frac{1}{2}I\omega^2. \quad (1)$$

Como há rolamento sem deslizamento, a velocidade de translação do CM e a velocidade de rotação satisfazem $v = \omega r$. Substituindo na Eq. (1) e usando a expressão para o momento de inércia dada no enunciado obtemos

$$v = \sqrt{\frac{10}{7}gh}.$$

(d) Definimos um sistema de coordenadas com um eixo x paralelo ao plano inclinado e apontando para a base do plano e um eixo y perpendicular ao plano e apontando para cima do plano. A força resultante no eixo y é nula. No eixo x , usando a segunda lei de Newton,

$$mg \sin \theta - f_{at} = ma, \quad (2)$$

onde f_{at} é a força de atrito e a a aceleração do CM. Para o movimento de rotação

$$\tau = f_{at}r = I\alpha, \quad (3)$$

onde τ é o torque em relação a um eixo que passa pelo CM da esfera e α é sua aceleração angular. Derivando em relação ao tempo a expressão do item anterior, $v = \omega r$, obtemos $a = \alpha r$. Levando esta última relação e a Eq. (2) na Eq. (3) obtemos

$$(mg \sin \theta - ma)r = \frac{2}{5}mr^2 \frac{a}{r},$$

donde

$$a = \frac{5}{7}g \sin \theta. \quad (4)$$

Dado que a é constante, podemos usar a seguinte relação, válida para um movimento uniformemente acelerado,

$$\begin{aligned} v^2 &= v_0^2 + 2a\Delta x \\ &= 2ah/\sin \theta, \end{aligned} \quad (5)$$

onde $v_0 = 0$ é a velocidade no instante inicial e $\Delta x = h/\sin \theta$ o deslocamento no eixo x . Levando a Eq. (4) na Eq. (5)

$$v = \sqrt{\frac{10}{7}gh},$$

que coincide com o resultado já encontrado no item (c).

- Q2. (a) Utilizaremos como coordenada generalizada o ângulo θ que a haste faz com a vertical. O módulo da velocidade da partícula é dado por $v = l\dot{\theta}$, de modo que sua energia cinética é

$$T = \frac{m(l\dot{\theta})^2}{2}.$$

A altura na vertical, em relação à posição em que $\theta = 0$, é dada por $h = l - l \cos \theta$. Segue que a energia potencial gravitacional é

$$V = mgl(1 - \cos \theta).$$

Finalmente, a Lagrangiana do sistema é

$$L = T - V = \frac{ml^2\dot{\theta}^2}{2} - mgl(1 - \cos \theta). \quad (6)$$

- (b) A equação de movimento é obtida a partir da equação de Euler-Lagrange

$$\frac{d}{dt} \left(\frac{\partial L}{\partial \dot{\theta}} \right) - \frac{\partial L}{\partial \theta} = 0.$$

Utilizando a Eq. (6) na equação acima, temos

$$\ddot{\theta} = -\frac{g}{l} \sin \theta.$$

- (c) Nos pontos de equilíbrio, $dV/d\theta = 0$, o que nos dá $\sin \theta = 0$, ou seja, os pontos procurados são

$$\theta = 0 \text{ e } \theta = \pi.$$

Para avaliar a estabilidade dos pontos de equilíbrio, analisamos o sinal de

$$\frac{d^2V}{d\theta^2} = mgl \cos \theta.$$

Para $\theta = 0$, a expressão acima tem valor positivo (mínimo de V), caracterizando um equilíbrio **estável**, enquanto que para $\theta = \pi$, o sinal é negativo (máximo de V), correspondendo a um ponto de equilíbrio **instável**.

- (d) Para pequenas oscilações em torno de $\theta = 0$, podemos aproximar $\sin \theta \approx \theta$. A equação de movimento fica

$$\ddot{\theta} = -\frac{g}{l}\theta,$$

cujas solução geral é, por inspeção,

$$\theta(t) = A \sin(\omega t + \delta),$$

onde A e δ são constantes arbitrárias determinadas pelas condições iniciais e

$$\omega = \sqrt{g/l},$$

que é a frequência (angular) procurada. Alternativamente, pode-se comparar a Eq. (2) com a equação de movimento de um oscilador harmônico simples uni-dimensional de frequência (angular) ω ,

$$\ddot{x} + \omega^2 x = 0,$$

e inferir que no caso em questão teremos $\omega = \sqrt{g/l}$.

Q3. a) A conservação de energia nos dá

$$E_0 + mc^2 = \sqrt{p_e^2 c^2 + m^2 c^4} + E, \quad (7)$$

enquanto a conservação de momento linear é

$$\vec{p}_0 + \vec{0} = \vec{p} + \vec{p}_e.$$

b) Da conservação de momento linear

$$p_e^2 = (\vec{p}_0 - \vec{p})^2 = p_0^2 + p^2 - 2pp_0 \cos \theta.$$

Usando que, para os fótons, $p_0 = E_0/c$ e $p = E/c$ e levando na Eq. (7)

$$E_0 + mc^2 = \sqrt{E_0^2 + E^2 - 2EE_0 \cos \theta + m^2 c^4} + E.$$

Isolando a raiz quadrada e elevando a equação ao quadrado

$$\begin{aligned} (E_0 - E + mc^2)^2 &= E_0^2 + E^2 - 2EE_0 \cos \theta + m^2 c^4 \\ E_0^2 + E^2 + m^2 c^4 - 2EE_0 + 2mc^2(E_0 - E) &= E_0^2 + E^2 - 2EE_0 \cos \theta + m^2 c^4 \\ -EE_0 + mc^2(E_0 - E) &= -EE_0 \cos \theta \\ mc^2(E_0 - E) &= EE_0(1 - \cos \theta). \end{aligned}$$

Finalmente,

$$\boxed{\frac{1}{E} - \frac{1}{E_0} = \frac{1}{mc^2} (1 - \cos \theta)}. \quad (8)$$

c) Da relação entre a energia e o comprimento de onda dos fótons

$$E = \frac{hc}{\lambda} \quad \text{e} \quad E_0 = \frac{hc}{\lambda_0},$$

onde λ é o comprimento de onda do fóton espalhado. Portanto,

$$\lambda = \lambda_0 + \frac{h}{mc} (1 - \cos \theta).$$

Para $\theta = \pi/2$,

$$\boxed{\lambda = \lambda_0 + \frac{h}{mc}}.$$

c) A energia cinética do elétron espalhado é

$$K = \sqrt{p_e^2 c^2 + m^2 c^4} - mc^2 = E_0 - E.$$

Fazendo $\theta = \pi/2$ na Eq. (8)

$$\frac{1}{E} - \frac{1}{E_0} = \frac{1}{mc^2},$$

donde

$$E = \frac{mc^2 E_0}{E_0 + mc^2}.$$

Assim,

$$K = E_0 \left(1 - \frac{mc^2}{E_0 + mc^2} \right) = \frac{hc}{\lambda_0} \left(1 - \frac{mc^2}{\frac{hc}{\lambda_0} + mc^2} \right).$$

Finalmente,

$$\boxed{K = \frac{hc}{\lambda_0} \frac{1}{1 + \frac{\lambda_0}{\lambda_C}}}.$$

Q4. (a) Queremos calcular $\langle n' | \hat{x} | n \rangle$ e $\langle n' | \hat{p} | n \rangle$. Utilizando que

$$\hat{a}^\dagger = \sqrt{\frac{m\omega}{2\hbar}} \hat{x} - \frac{i}{\sqrt{2m\omega\hbar}} \hat{p},$$

obtemos

$$\begin{aligned}\hat{x} &= \sqrt{\frac{\hbar}{2m\omega}} (\hat{a} + \hat{a}^\dagger), \\ \hat{p} &= i\sqrt{\frac{\hbar m\omega}{2}} (\hat{a}^\dagger - \hat{a}).\end{aligned}$$

Os elementos de matriz pedidos são

$$\begin{aligned}\langle n' | \hat{x} | n \rangle &= \sqrt{\frac{\hbar}{2m\omega}} \langle n' | (\hat{a} + \hat{a}^\dagger) | n \rangle, \\ \langle n' | \hat{p} | n \rangle &= i\sqrt{\frac{\hbar m\omega}{2}} \langle n' | (\hat{a}^\dagger - \hat{a}) | n \rangle.\end{aligned}$$

Como

$$\begin{aligned}\langle n' | \hat{a} | n \rangle &= \langle n' | \sqrt{n} | n-1 \rangle = \sqrt{n} \delta_{n',n-1}, \\ \langle n' | \hat{a}^\dagger | n \rangle &= \langle n' | \sqrt{n+1} | n+1 \rangle = \sqrt{n+1} \delta_{n',n+1},\end{aligned}$$

segue que

$$\begin{aligned}\langle n' | \hat{x} | n \rangle &= \sqrt{\frac{\hbar}{2m\omega}} (\sqrt{n} \delta_{n',n-1} + \sqrt{n+1} \delta_{n',n+1}), \\ \langle n' | \hat{p} | n \rangle &= i\sqrt{\frac{\hbar m\omega}{2}} (\sqrt{n+1} \delta_{n',n+1} - \sqrt{n} \delta_{n',n-1}).\end{aligned}$$

(b) Primeiramente, escrevemos \hat{x}^2 em termos de \hat{a} e \hat{a}^\dagger

$$\hat{x}^2 = \sqrt{\frac{\hbar}{2m\omega}} (\hat{a} + \hat{a}^\dagger) \sqrt{\frac{\hbar}{2m\omega}} (\hat{a} + \hat{a}^\dagger) = \frac{\hbar}{2m\omega} [\hat{a}^2 + \hat{a}\hat{a}^\dagger + \hat{a}^\dagger\hat{a} + (\hat{a}^\dagger)^2].$$

O valor esperado procurado é

$$\langle n | \hat{x}^2 | n \rangle = \langle n | \frac{\hbar}{2m\omega} (\hat{a}^2 + \hat{a}\hat{a}^\dagger + \hat{a}^\dagger\hat{a} + (\hat{a}^\dagger)^2) | n \rangle.$$

Calculamos cada termo separadamente

$$\begin{aligned}\langle n | \hat{a}^2 | n \rangle &= \langle n | a\sqrt{n} | n-1 \rangle = \sqrt{n}\sqrt{n-1} \delta_{n,n-2} = 0, \\ \langle n | (\hat{a}^\dagger)^2 | n \rangle &= \langle n | a^\dagger \sqrt{n+1} | n+1 \rangle = \sqrt{n+1}\sqrt{n+2} \delta_{n,n+2} = 0, \\ \langle n | \hat{a}\hat{a}^\dagger | n \rangle &= \langle n | a\sqrt{n+1} | n+1 \rangle = (n+1) \langle n | n \rangle = n+1, \\ \langle n | \hat{a}^\dagger\hat{a} | n \rangle &= \langle n | a^\dagger \sqrt{n} | n-1 \rangle = n \langle n | n \rangle = n.\end{aligned}$$

Juntando todas as contribuições

$$\langle n | \hat{x}^2 | n \rangle = \frac{\hbar}{2m\omega} (2n+1) = \frac{\hbar}{m\omega} \left(n + \frac{1}{2} \right).$$

(c) A energia total média em um auto estado do Hamiltoniano é

$$\langle n | \hat{H} | n \rangle = \hbar\omega \langle n | \left(\hat{a}^\dagger \hat{a} + \frac{1}{2} \right) | n \rangle = \hbar\omega \left(n + \frac{1}{2} \right),$$

onde usamos o valor esperado do operador número calculado no item anterior. A energia potencial média em um auto estado do Hamiltoniano é

$$\langle n | \hat{V} | n \rangle = \frac{1}{2} m \omega^2 \langle n | \hat{x}^2 | n \rangle.$$

Do item anterior

$$\langle n | \hat{V} | n \rangle = \frac{1}{2} m \omega^2 \frac{\hbar}{m \omega} \left(n + \frac{1}{2} \right) = \frac{\hbar \omega}{2} \left(n + \frac{1}{2} \right).$$

Finalmente

$$\boxed{\frac{\langle n | \hat{H} | n \rangle}{\langle n | \hat{V} | n \rangle} = 2.}$$

(d) Primeiro notamos que

$$i\hbar \frac{d\hat{a}_H(t)}{dt} = [\hat{a}_H(t), \hat{H}] = e^{i\hat{H}t/\hbar} [\hat{a}, \hat{H}] e^{-i\hat{H}t/\hbar},$$

já que o Hamiltoniano comuta com as exponenciais. O comutador procurado é

$$[\hat{a}, \hat{H}] = \hbar\omega \left[\hat{a}, \left(\hat{a}^\dagger \hat{a} + \frac{1}{2} \right) \right] = \hbar\omega [\hat{a}, \hat{a}^\dagger \hat{a}],$$

onde usamos que um número comuta com qualquer operador. Mas

$$[\hat{a}, \hat{a}^\dagger \hat{a}] = (\hat{a} \hat{a}^\dagger \hat{a} - \hat{a}^\dagger \hat{a}^2) = (\hat{a} \hat{a}^\dagger - \hat{a}^\dagger \hat{a}) \hat{a} = [\hat{a}, \hat{a}^\dagger] \hat{a} = \hat{a},$$

já que $[\hat{a}, \hat{a}^\dagger] = 1$. Assim,

$$i\hbar \frac{d\hat{a}_H(t)}{dt} = \hbar\omega e^{i\hat{H}t/\hbar} \hat{a} e^{-i\hat{H}t/\hbar} = \hbar\omega \hat{a}_H(t).$$

Resolvendo essa equação diferencial

$$\boxed{\hat{a}_H(t) = \hat{a}(0) e^{-i\omega t} = \hat{a} e^{-i\omega t}.}$$

Q5. a) O gráfico pedido é mostrado na Fig. 5:

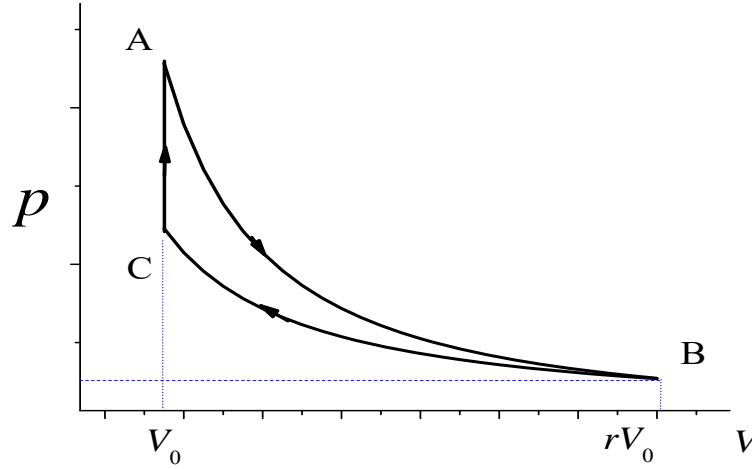


Figura 1: Gráfico esquemático mostrando o ciclo num diagrama $p \times V$.

b) (i) De maneira geral, o trabalho realizado pelo gás num processo reversível quando o volume varia de V_1 até V_2 é dado por

$$W = \int_{V_1}^{V_2} p dV$$

Portanto, o trabalho realizado no trecho CA é nulo, pois não há variação de volume. O trecho AB é adiabático, portanto não há troca de calor Q_{AB} entre o gás e a vizinhança. Da primeira lei da termodinâmica $\Delta U = Q - W$ (U é a energia interna),

$$W_{AB} = -\Delta U_{AB} = nc_V(T_A - T_B),$$

onde usamos a expressão para a energia interna de um gás ideal. Finalmente, na isoterma BC, usando a equação de estado do gás ideal,

$$W_{BC} = \int_{rV_0}^{V_0} p dV = -nRT_B \ln r.$$

Como $T_C = T_B$ e as isotermas são hipérboles $p = nRT/V$ num gráfico $p \times V$, segue que $T_{\min} = T_B < T_A = T_{\max}$. Logo, usando $c_V = R/(\gamma - 1)$, o trabalho total é dado por

$$W_{\text{total}} = \frac{nR}{\gamma - 1}(T_{\max} - T_{\min}) - nRT_{\min} \ln r.$$

(ii) Só há troca de calor entre o gás e a vizinhança nos trechos BC e CA, pois o processo AB é adiabático. Como BC é uma isoterma, a energia interna do gás se mantém constante e, usando a primeira lei,

$$Q_{BC} = W_{BC} = -nRT_B \ln r < 0,$$

o que corresponde a uma liberação de calor do gás para sua vizinhança. Na isocórica CA, o trabalho é nulo e, usando novamente a primeira lei,

$$Q_{CA} = \Delta U_{CA} = nc_V(T_A - T_C) = nc_V(T_{\max} - T_{\min}).$$

Portanto, o calor injetado no gás é

$$Q_{\text{injetado}} = \frac{nR}{\gamma - 1} (T_{\text{max}} - T_{\text{min}}).$$

c) O rendimento é dado por

$$\eta = \frac{W_{\text{total}}}{Q_{\text{injetado}}} = 1 - \frac{(\gamma - 1)T_{\text{min}}}{(T_{\text{max}} - T_{\text{min}})} \ln r.$$

d) Na adiabática AB temos que

$$p_A V_0^\gamma = p_B (r V_0)^\gamma \Rightarrow p_B = p_A / r^\gamma,$$

e na isoterma BC temos que

$$p_B r V_0 = p_C V_0 \Rightarrow p_C = r p_B,$$

donde

$$r = \frac{p_C}{p_B} = \frac{p_C}{p_A} r^\gamma \Rightarrow r^{\gamma-1} = \frac{p_A}{p_C}.$$

Da equação de estado dos gases ideais para a isovolumétrica CA

$$\frac{p_A}{p_C} = \frac{T_A}{T_C} = \frac{T_{\text{max}}}{T_{\text{min}}}.$$

Assim,

$$r = \left(\frac{T_{\text{max}}}{T_{\text{min}}} \right)^{1/(\gamma-1)}.$$

Levando na expressão para o rendimento,

$$\eta = 1 - \frac{T_{\text{min}}}{(T_{\text{max}} - T_{\text{min}})} \ln \left(\frac{T_{\text{max}}}{T_{\text{min}}} \right).$$

Se $T_{\text{max}} = 2T_{\text{min}}$, temos que

$$\eta = 1 - \ln 2 \approx 0.31,$$

e o rendimento da máquina de Carnot correspondente é

$$\eta_{\text{Carnot}} = 1 - \frac{T_{\text{min}}}{T_{\text{max}}} = 0.5,$$

de forma que

$$\frac{\eta}{\eta_{\text{Carnot}}} = 2(1 - \ln 2).$$

O rendimento da máquina é menor do que o da máquina de Carnot correspondente. Isso é o esperado porque uma das consequências da segunda lei da termodinâmica é que nenhuma máquina operando entre dois reservatórios a temperaturas T_{max} e T_{min} pode ter rendimento maior que a máquina de Carnot entre esses reservatórios.

EUUF

**Exame Unificado
das Pós-graduações em Física**

Para o segundo semestre de 2016

Respostas esperadas

Parte 2

- **Estas são sugestões de possíveis respostas.**

Outras possibilidades também podem ser consideradas corretas, desde que equivalentes às respostas sugeridas abaixo.

Q6. a) Pela lei de Gauss, de maneira geral, sabemos que:

$$\oint_S \vec{E} \cdot d\vec{S} = \frac{q_V}{\epsilon_0}, \quad (9)$$

onde a integral é feita sobre a superfície S de uma região V e q_V é a carga total contida em V . Tomaremos, nessa questão, regiões esféricas de raio r centradas no centro da esfera isolante. Por simetria, o campo elétrico apontará sempre na direção radial, ou seja, $\vec{E} = E\hat{r}$.

i) Campo elétrico para $r < a$: Neste sub-item, escolhemos regiões esféricas de raio $r < a$, representadas pelas linhas pontilhadas na Fig. 2. Desta forma, a carga em V é

$$\begin{aligned} q_V &= \rho V, \\ q_V &= \frac{4\pi\rho}{3}r^3. \end{aligned}$$

Aplicando a Eq. (9) e usando que o campo elétrico é radial

$$E4\pi r^2 = \frac{4\pi\rho}{3\epsilon_0}r^3.$$

Portanto, a magnitude do campo elétrico será dada por

$$\boxed{E = \frac{\rho}{3\epsilon_0}r.}$$

ii) Campo elétrico para $a < r < b$: Neste caso, as regiões esféricas tem raio r tal que $a < r < b$, como mostrado na Fig. 3. A carga total contida em V é $q_V = Q$. Aplicando a Eq. (9) e usando que o campo elétrico é radial

$$E4\pi r^2 = \frac{Q}{\epsilon_0}.$$

Portanto, a magnitude do campo elétrico será

$$\boxed{E = \frac{Q}{4\pi\epsilon_0 r^2}.$$

iii) Campo elétrico para $b < r < c$: Nesta região, queremos o campo elétrico dentro de um condutor em equilíbrio eletrostático (veja a Fig. 4), que sempre se anula. Portanto,

$$\boxed{E = 0.}$$

(iv) Campo elétrico para $r > c$: Agora, as regiões esféricas tem raio $r > c$, como mostrado na Fig. 5. A carga contida em V é $q_V = Q$. Aplicando novamente a Eq. (9) e usando que o campo elétrico é radial

$$E4\pi r^2 = \frac{Q}{\epsilon_0}.$$

Portanto, a magnitude do campo elétrico será

$$\boxed{E = \frac{Q}{4\pi\epsilon_0 r^2}.$$

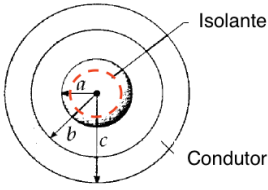


Figura 2: Região V no caso (i) $r < a$.

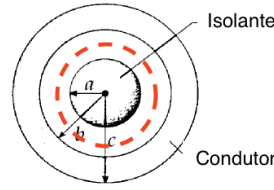


Figura 3: Região V no caso (ii) $a < r < b$.

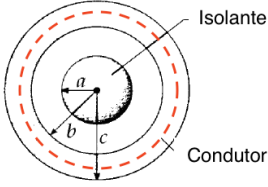


Figura 4: Região V no caso (iii) $b < r < c$.

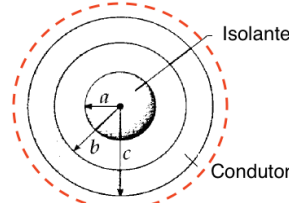


Figura 5: Região V no caso (iv) $r > c$.

b) Em todo condutor em equilíbrio eletrostático, a carga líquida se distribui na sua superfície. Vamos denotar por q_1 a carga induzida na superfície interna do condutor ($r = b$) e q_2 a a carga induzida na superfície externa do condutor ($r = c$). Como dentro do condutor temos $E = 0$, aplicando a Eq. (9) a uma região como as do item (a)(iii) (raio r , tal que $b < r < c$), a carga total em V nesse caso é nula. Portanto,

$$\begin{aligned} q_V &= Q + q_1 = 0 \\ \Rightarrow q_1 &= -Q. \end{aligned}$$

Como, por simetria, a carga se distribui de maneira uniforme na superfície, segue que a densidade de carga induzida em $r = b$ é

$$\sigma_1 = -\frac{Q}{4\pi b^2}.$$

Como o condutor está descarregado, por conservação de carga, temos que

$$\begin{aligned} Q_{condutor} = 0 &= q_1 + q_2 \\ q_2 &= -q_1 \end{aligned}$$

Usando novamente que, por simetria, a carga se distribui de maneira uniforme na superfície, a densidade de carga induzida em $r = c$ é

$$\sigma_2 = \frac{Q}{4\pi c^2}.$$

c) Esboço do gráfico $E \times r$:

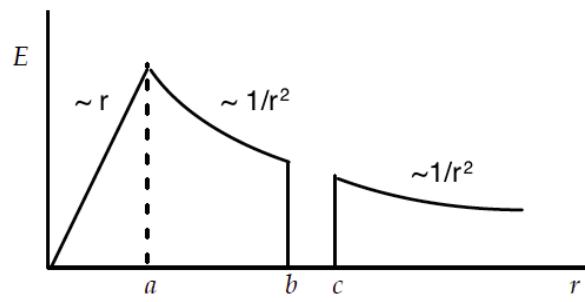


Figura 6: Esboço do gráfico $E \times r$.

Q7. a) Pelo formulário podemos ver que no vácuo (onde $\rho = 0$ e $\vec{J} = 0$), as equações de Maxwell são dadas por

$$\nabla \cdot \vec{E} = 0; \quad (10)$$

$$\nabla \cdot \vec{B} = 0; \quad (11)$$

$$\nabla \times \vec{E} = -\frac{\partial \vec{B}}{\partial t}; \quad (12)$$

$$\nabla \times \vec{B} = \mu_0 \epsilon_0 \frac{\partial \vec{E}}{\partial t}; \quad (13)$$

Tomando o rotacional da Eq. (12) temos que

$$\nabla \times (\nabla \times \vec{E}) + \nabla \times \left(\frac{\partial \vec{B}}{\partial t} \right) = 0. \quad (14)$$

Utilizando a primeira identidade vetorial dada no enunciado juntamente com a Eq. (10), podemos re-escrever o primeiro termo do lado esquerdo da equação acima como

$$\nabla \times (\nabla \times \vec{E}) = \nabla(\nabla \cdot \vec{E}) - \nabla^2 \vec{E} = -\nabla^2 \vec{E}.$$

Desta forma a Eq. (14) pode ser re-escrita, trocando a ordem das derivadas parciais, como

$$-\nabla^2 \vec{E} + \frac{\partial}{\partial t} (\nabla \times \vec{B}) = 0.$$

Utilizando a Eq. (13) obtemos a equação da onda para o campo elétrico

$$\boxed{\nabla^2 \vec{E} = \mu_0 \epsilon_0 \frac{\partial^2 \vec{E}}{\partial t^2}.}$$

Tomando agora o rotacional da Eq. (13) temos que

$$\nabla \times (\nabla \times \vec{B}) - \mu_0 \epsilon_0 \nabla \times \left(\frac{\partial \vec{E}}{\partial t} \right) = 0.$$

Utilizando a primeira identidade vetorial dada no enunciado juntamente com a Eq. (11) e trocando a ordem das derivadas parciais, podemos re-escrever a equação acima como

$$-\nabla^2 \vec{B} - \mu_0 \epsilon_0 \frac{\partial}{\partial t} (\nabla \times \vec{E}) = 0. \quad (15)$$

Finalmente, utilizando a Eq. (12) no segundo termo da Eq. (15) obtemos

$$\boxed{\nabla^2 \vec{B} = \mu_0 \epsilon_0 \frac{\partial^2 \vec{B}}{\partial t^2}.}$$

b) A equação de onda para uma função $f(\vec{r}, t)$ se propagando com velocidade v é dada por

$$\boxed{\nabla^2 f(\vec{r}, t) = \frac{1}{v^2} \frac{\partial^2 f(\vec{r}, t)}{\partial t^2}.} \quad (16)$$

Comparando com as Eqs. (15) e (16), notamos que a velocidade de propagação de \vec{E} e \vec{B} é dada por

$$\frac{1}{v^2} = \mu_0 \epsilon_0 \quad \Rightarrow \quad \boxed{v = \frac{1}{\sqrt{\mu_0 \epsilon_0}} = c.} \quad (17)$$

c) **(0,2 pontos)** Supondo que \vec{E} aponte na direção \hat{x} e se propague na direção \hat{z} , podemos escrever que

$$\vec{E} = E_0 e^{i(kz - \omega t)} \hat{x}, \quad (18)$$

$$\vec{B} = B_0 e^{i(kz - \omega t)} \hat{y}. \quad (19)$$

O campos “físicos” podem ser escritos como (supondo E_0 e B_0 reais)

$$\vec{E}_f = \text{Re}(\vec{E}) = E_0 \cos(kz - \omega t) \hat{x}, \quad (20)$$

$$\vec{B}_f = \text{Re}(\vec{B}) = B_0 \cos(kz - \omega t) \hat{y}. \quad (21)$$

Essas soluções, de fato, satisfazem as quatro Eqs. (10-13) desde que $\omega = ck$, como pode ser verificado. De maneira geral, a direção de \vec{E} é arbitrária, desde que seja perpendicular a \vec{z} . Uma vez fixada a direção de \vec{E} , \vec{B} tem que ser perpendicular a \vec{E} e \vec{z} . Os *módulos* de \vec{E} e \vec{B} são:

$$E = E_0 \cos(kz - \omega t),$$

$$B = B_0 \cos(kz - \omega t).$$

d) Tomando a divergência da Eq. (13) temos

$$\nabla \cdot (\nabla \times \vec{B}) - \mu_0 \epsilon_0 \frac{\partial}{\partial t} (\nabla \cdot \vec{E}) = \mu_0 \nabla \cdot \vec{J}. \quad (22)$$

O primeiro termo se anula pela segunda identidade dada no enunciado. Usando a Eq. (10)

$$\boxed{\frac{\partial \rho}{\partial t} + \nabla \cdot \vec{J} = 0}$$

Esta equação expressa a *lei de conservação da carga*: em sua forma integral, ela implica que a taxa de variação temporal da carga total incluída em uma região espacial fixa é igual ao fluxo de corrente elétrica entrando pela superfície que delimita a região.

Q8. (a) Das relações fornecidas

$$\hat{H}|\pm\rangle = -\gamma B \hat{S}_z |\pm\rangle = \mp \frac{\gamma B \hbar}{2} |\pm\rangle$$

Portanto, $|\pm\rangle$ são auto-vetores do Hamiltoniano com auto-valores dados, respectivamente, por

$$E_{\pm} = \mp \frac{\gamma \hbar B}{2}.$$

(b) De maneira geral,

$$|\psi(t)\rangle = [c_+ e^{-i(E_+/\hbar)t} |+\rangle + c_- e^{-i(E_-/\hbar)t} |-\rangle],$$

onde c_{\pm} são coeficientes determinados pelas condições iniciais. Usando as expressões dos auto-valores do item anterior

$$|\psi(t)\rangle = \left[c_+ e^{i\frac{\gamma B}{2}t} |+\rangle + c_- e^{-i\frac{\gamma B}{2}t} |-\rangle \right].$$

Em $t = 0$ temos

$$|\psi(t=0)\rangle = [c_+ |+\rangle + c_- |-\rangle] = \frac{1}{\sqrt{2}} [|+\rangle - |-\rangle],$$

donde $c_+ = -c_- = 1/\sqrt{2}$. Portanto,

$$|\psi(t)\rangle = \frac{1}{\sqrt{2}} \left[e^{i\frac{\gamma B}{2}t} |+\rangle - e^{-i\frac{\gamma B}{2}t} |-\rangle \right].$$

(c) A média de \hat{S}_i é dada por

$$\langle \hat{S}_i \rangle = \langle \psi(t) | \hat{S}_i | \psi(t) \rangle$$

Utilizando a $|\psi(t)\rangle$ obtida no item anterior

$$\begin{aligned} \hat{S}_x |\psi(t)\rangle &= \hat{S}_x \frac{1}{\sqrt{2}} \left[e^{i\frac{\gamma B}{2}t} |+\rangle - e^{-i\frac{\gamma B}{2}t} |-\rangle \right] \\ &= \frac{\hbar}{2\sqrt{2}} \left[e^{i\frac{\gamma B}{2}t} |-\rangle - e^{-i\frac{\gamma B}{2}t} |+\rangle \right], \\ \hat{S}_y |\psi(t)\rangle &= \hat{S}_y \frac{1}{\sqrt{2}} \left[e^{i\frac{\gamma B}{2}t} |+\rangle - e^{-i\frac{\gamma B}{2}t} |-\rangle \right] \\ &= i \frac{\hbar}{2\sqrt{2}} \left[e^{i\frac{\gamma B}{2}t} |-\rangle + e^{-i\frac{\gamma B}{2}t} |+\rangle \right], \\ \hat{S}_z |\psi(t)\rangle &= \hat{S}_z \frac{1}{\sqrt{2}} \left[e^{i\frac{\gamma B}{2}t} |+\rangle - e^{-i\frac{\gamma B}{2}t} |-\rangle \right] \\ &= \frac{\hbar}{2\sqrt{2}} \left[e^{i\frac{\gamma B}{2}t} |+\rangle + e^{-i\frac{\gamma B}{2}t} |-\rangle \right]. \end{aligned}$$

Finalmente,

$$\begin{aligned}
\langle \psi(t) | \hat{S}_x | \psi(t) \rangle &= \frac{1}{\sqrt{2}} \left[e^{-i\frac{\gamma B}{2}t} \langle + | - e^{i\frac{\gamma B}{2}t} \langle - | \right] \frac{\hbar}{2\sqrt{2}} \left[e^{i\frac{\gamma B}{2}t} | - \rangle - e^{-i\frac{\gamma B}{2}t} | + \rangle \right] \\
&= -\frac{\hbar}{2} \cos(\gamma B t) \\
\langle \psi(t) | \hat{S}_y | \psi(t) \rangle &= \frac{1}{\sqrt{2}} \left[e^{-i\frac{\gamma B}{2}t} \langle + | - e^{i\frac{\gamma B}{2}t} \langle - | \right] i \frac{\hbar}{2\sqrt{2}} \left[e^{i\frac{\gamma B}{2}t} | - \rangle + e^{-i\frac{\gamma B}{2}t} | + \rangle \right] \\
&= \frac{\hbar}{2} \sin(\gamma B t) \\
\langle \psi(t) | \hat{S}_z | \psi(t) \rangle &= \frac{1}{\sqrt{2}} \left[e^{-i\frac{\gamma B}{2}t} \langle + | - e^{i\frac{\gamma B}{2}t} \langle - | \right] \frac{\hbar}{2\sqrt{2}} \left[e^{i\frac{\gamma B}{2}t} | + \rangle + e^{-i\frac{\gamma B}{2}t} | - \rangle \right] \\
&= 0
\end{aligned}$$

$ \begin{aligned} \langle \hat{S}_x \rangle &= -\frac{\hbar}{2} \cos(\gamma B t) \\ \langle \hat{S}_y \rangle &= \frac{\hbar}{2} \sin(\gamma B t) \\ \langle \hat{S}_z \rangle &= 0 \end{aligned} $

(d) Queremos t tal que

$$\begin{aligned}
|\psi(0)\rangle &= |\psi(t)\rangle, \\
\frac{1}{\sqrt{2}} [|+\rangle - |-\rangle] &= \frac{1}{\sqrt{2}} \left[e^{+i\frac{\gamma B}{2}t} |+\rangle - e^{-i\frac{\gamma B}{2}t} |-\rangle \right],
\end{aligned}$$

onde usamos o resultado do item (b). Por inspeção nota-se que a condição a ser satisfeita é

$$e^{\pm i\frac{\gamma B}{2}t} = 1 \Rightarrow \frac{\gamma B}{2}t = 2n\pi \quad (n = 1, 2, \dots).$$

O menor valor de t corresponde a $n = 1$

$t = \frac{4\pi}{\gamma B}.$

Q9. a) Em qualquer outro referencial S' , o intervalo invariante terá o mesmo valor

$$\Delta s^2 = (\Delta x')^2 + (\Delta y')^2 + (\Delta z')^2 - c^2 (\Delta t')^2.$$

Se nesse referencial os eventos ocorressem no mesmo ponto do espaço, $\Delta x' = \Delta y' = \Delta z' = 0$ e teríamos $\Delta s^2 = -c^2 (\Delta t')^2 < 0$, o que contradiz o enunciado. Portanto, esse referencial não existe.

b) Como o intervalo invariante é positivo

$$\Delta x^2 + \Delta y^2 + \Delta z^2 > c^2 \Delta t^2.$$

Supondo a propagação de um sinal com velocidade \vec{V} entre os eventos, teríamos $\Delta x = V_x \Delta t$, $\Delta y = V_y \Delta t$ e $\Delta z = V_z \Delta t$. Levando na desigualdade acima

$$(V_x^2 + V_y^2 + V_z^2) \Delta t^2 > c^2 \Delta t^2.$$

Assim, teríamos $V_x^2 + V_y^2 + V_z^2 = V^2 > c^2$. Portanto, o sinal teria que se propagar com uma velocidade maior do que a da luz, o que é impossível.

c) (i) Como o relógio está em repouso em S' , $\Delta x' = \Delta y' = \Delta z' = 0$ e $\Delta s^2 = -c^2 (\Delta t')^2 < 0$. O sinal é negativo.

(ii) Observados no referencial S , os eventos são tais que $\Delta x = V_x \Delta t$, $\Delta y = V_y \Delta t$ e $\Delta z = V_z \Delta t$. Logo,

$$\Delta s^2 = (V_x^2 + V_y^2 + V_z^2) \Delta t^2 - c^2 \Delta t^2 = -c^2 (\Delta t')^2,$$

onde usamos que o valor do intervalo invariante não depende do referencial. Segue que

$$\Delta t' = \sqrt{1 - \frac{V^2}{c^2}} \Delta t.$$

d) (i) No referencial de laboratório S , a separação espacial entre os eventos é a distância entre F e D e a separação temporal é o tempo que a partícula leva para viajar entre um e outro

$$\Delta x = L \quad \text{e} \quad \Delta t = \frac{L}{V}.$$

(ii) No referencial da partícula, os eventos ocorrem no mesmo ponto espacial e a separação temporal entre eles pode ser obtida usando o resultado do item (c)(ii)

$$\Delta x' = 0 \quad \text{e} \quad \Delta t' = \sqrt{1 - \frac{V^2}{c^2}} \left(\frac{L}{V} \right).$$

(iii) Do ponto de vista de S' , $L' = V \Delta t'$, pois F e D (e o referencial S) se movem com velocidade $-\vec{V}$. Usando a expressão para $\Delta t'$ obtida no item anterior

$$L' = \sqrt{1 - \frac{V^2}{c^2}} L.$$

Q10. a) A função de partição é obtida somando sobre todos os estados do sistema com o peso de Boltzmann

$$Z = \text{Tre}^{-\beta H} = \int_{-\infty}^{\infty} \int_{-\infty}^{\infty} \frac{dx dp}{h} \exp \left[-\beta \left(\frac{p^2}{2m} + \frac{m\omega^2 x^2}{2} \right) \right],$$

onde $\beta^{-1} = k_B T$. Usando

$$\int_{-\infty}^{\infty} dx e^{-ax^2} = \sqrt{\frac{\pi}{a}},$$

obtemos

$$Z = \frac{\pi}{h} \sqrt{\frac{2m}{\beta}} \sqrt{\frac{2}{\beta m \omega^2}}$$

$$\boxed{Z = \frac{2\pi k_B T}{h\omega} = \frac{k_B T}{\hbar\omega}}.$$

b) Como os osciladores são independentes, o número médio $n(x)dx$ pedido é igual a $3N$ vezes a probabilidade de um oscilador ter sua posição no intervalo considerado. Esta probabilidade, por sua vez, é igual ao peso de Boltzmann integrado sobre todos os valores de momento linear, donde

$$n(x)dx = \frac{3Ndx}{Z} \int_{-\infty}^{\infty} \frac{dp}{h} \exp \left[-\beta \left(\frac{p^2}{2m} + \frac{m\omega^2 x^2}{2} \right) \right]$$

$$\boxed{n(x)dx = 3N\omega dx \sqrt{\frac{m}{2\pi k_B T}} \exp \left(-\frac{m\omega^2 x^2}{2k_B T} \right)}.$$

c) A energia potencial média por oscilador é

$$\begin{aligned} \langle U \rangle &= \frac{1}{3N} \int_{-\infty}^{\infty} \left(\frac{m\omega^2 x^2}{2} \right) n(x) dx \\ &= \omega \sqrt{\frac{m}{2\pi k_B T}} \int_{-\infty}^{\infty} \left(\frac{m\omega^2 x^2}{2} \right) \exp \left(-\frac{m\omega^2 x^2}{2k_B T} \right) dx \\ &= \omega \sqrt{\frac{m}{2\pi k_B T}} (k_B T) \sqrt{\frac{2k_B T}{m\omega^2}} \int_{-\infty}^{\infty} x^2 e^{-x^2} dx. \end{aligned}$$

Usando que $\int_{-\infty}^{\infty} x^2 e^{-x^2} dx = \sqrt{\pi}/2$,

$$\boxed{\langle U \rangle = \frac{k_B T}{2}}.$$

Esse resultado é o esperado pelo teorema da equipartição, que diz que o valor médio clássico de cada grau de liberdade quadrático da Hamiltoniana (como a energia potencial) é $k_B T/2$.

d) Temos que

$$\frac{m\omega^2 x_0^2}{2} = \frac{k_B T}{2} \Rightarrow f = \frac{x_0}{d} = \frac{1}{\omega d} \sqrt{\frac{k_B T}{m}}.$$

Para os dados fornecidos

$$\boxed{f \approx 0.03 = 3\%}.$$

EUf

**Exame Unificado
das Pós-graduações em Física**

Para o primeiro semestre de 2017

Gabarito

Parte 1

- **Estas são sugestões de possíveis respostas.**

Outras possibilidades também podem ser consideradas corretas, desde que equivalentes às respostas sugeridas abaixo.

Q1. (a) Da componente da segunda lei de Newton na direção vertical (orientada para cima), a queda é descrita por

$$F = m \frac{dv}{dt} = -mg - kmv \Rightarrow \frac{dv}{dt} = -(g + kv) \Rightarrow \int_0^v \frac{dv'}{g + kv'} = - \int_0^t dt', \quad (1)$$

onde usamos a condição inicial de que o corpo parte do repouso. Usando

$$\int \frac{dx}{ax + b} = \frac{1}{a} \ln(ax + b),$$

segue que

$$\int_0^v \frac{dv'}{g + kv'} = - \int_0^t dt' \Rightarrow \ln \left(\frac{g + kv}{g} \right) = -kt. \quad (2)$$

Invertendo a última relação

$$v(t) = \frac{g}{k} (e^{-kt} - 1). \quad (3)$$

Como $v(t) < 0$ (corpo em queda), o módulo da velocidade é

$$|v(t)| = -\frac{g}{k} (e^{-kt} - 1) = \frac{g}{k} (1 - e^{-kt}).$$

(b) A velocidade terminal v_{term} é obtida tomando-se o limite $t \rightarrow \infty$ na Eq. (3)

$$v_{term} = \lim_{t \rightarrow \infty} \frac{g}{k} (e^{-kt} - 1) = -\frac{g}{k} \Rightarrow |v_{term}| = \frac{g}{k}.$$

(c) A posição vertical do corpo é obtida integrando mais uma vez a Eq. (3)

$$v = \frac{dz}{dt} = \frac{g}{k} (e^{-kt} - 1) \Rightarrow \frac{k}{g} \int_0^z dz' = \int_0^t (e^{-kt'} - 1) dt' \Rightarrow \frac{kz}{g} = -\frac{e^{-kt}}{k} + \frac{1}{k} - t,$$

donde

$$z(t) = \frac{g}{k^2} (1 - e^{-kt}) - \frac{gt}{k}. \quad (4)$$

(d) Das Eqs. (3) e (4),

$$z = -\frac{v}{k} - \frac{g}{k}t.$$

Eliminando t usando a Eq. (2), encontramos a expressão procurada

$$z(v) = \frac{g}{k^2} \ln \left(1 + \frac{kv}{g} \right) - \frac{v}{k}.$$

Alternativamente, da Eq. (1)

$$a = \frac{dv}{dt} = -(g + kv).$$

Mas

$$\frac{dv}{dz} = \frac{dv}{dt} \frac{dt}{dz} = \frac{a}{v} \Rightarrow v dv = a dz = -(g + kv)dz.$$

Logo

$$- \int_0^v \frac{v'}{g + kv'} dv' = \int_0^z dz' \Rightarrow \left. \frac{g \ln(g + kv) - kv}{k^2} \right|_0^v = z \Big|_0^z,$$

onde usamos o resultado $\int \frac{x}{a+bx} dx = \frac{bx-a \ln(a+bx)}{b^2}$. Segue que

$$z(v) = \frac{g}{k^2} \ln \left(1 + \frac{kv}{g} \right) - \frac{v}{k}.$$

Q2. (a) Seja um sistema cartesiano de coordenadas com x na horizontal orientada para a direita e y na vertical orientada para baixo e com a origem no ponto de sustentação do pêndulo superior. Sejam (x_1, y_1) e (x_2, y_2) as coordenadas cartesianas das partículas de massas m_1 e m_2 , respectivamente. Então,

$$x_1 = l_1 \sin \theta_1, \quad y_1 = l_1 \cos \theta_1, \quad x_2 = l_1 \sin \theta_1 + l_2 \sin \theta_2, \quad y_2 = l_1 \cos \theta_1 + l_2 \cos \theta_2.$$

donde

$$\begin{aligned} \dot{x}_1 &= l_1 \dot{\theta}_1 \cos \theta_1, & \dot{x}_2 &= l_1 \dot{\theta}_1 \cos \theta_1 + l_2 \dot{\theta}_2 \cos \theta_2, \\ \dot{y}_1 &= -l_1 \dot{\theta}_1 \sin \theta_1, & \dot{y}_2 &= -l_1 \dot{\theta}_1 \sin \theta_1 - l_2 \dot{\theta}_2 \sin \theta_2. \end{aligned}$$

A energia cinética da partícula 1 é

$$T_1 = \frac{m_1}{2} (\dot{x}_1^2 + \dot{y}_1^2) = \frac{m_1}{2} (l_1^2 \dot{\theta}_1^2 \cos^2 \theta_1 + l_1^2 \dot{\theta}_1^2 \sin^2 \theta_1) = \frac{m_1}{2} l_1^2 \dot{\theta}_1^2.$$

Para a partícula 2

$$\begin{aligned} \dot{x}_2^2 &= l_1^2 \dot{\theta}_1^2 \cos^2 \theta_1 + l_2^2 \dot{\theta}_2^2 \cos^2 \theta_2 + 2l_1 l_2 \dot{\theta}_1 \dot{\theta}_2 \cos \theta_1 \cos \theta_2, \\ \dot{y}_2^2 &= l_1^2 \dot{\theta}_1^2 \sin^2 \theta_1 + l_2^2 \dot{\theta}_2^2 \sin^2 \theta_2 + 2l_1 l_2 \dot{\theta}_1 \dot{\theta}_2 \sin \theta_1 \sin \theta_2, \end{aligned}$$

donde

$$T_2 = \frac{m_2}{2} (\dot{x}_2^2 + \dot{y}_2^2) = \frac{m_2}{2} [l_1^2 \dot{\theta}_1^2 + l_2^2 \dot{\theta}_2^2 + 2l_1 l_2 \dot{\theta}_1 \dot{\theta}_2 \cos(\theta_1 - \theta_2)]$$

A energia cinética total é

$$T = T_1 + T_2 = \frac{m_1}{2} l_1^2 \dot{\theta}_1^2 + \frac{m_2}{2} [l_1^2 \dot{\theta}_1^2 + l_2^2 \dot{\theta}_2^2 + 2l_1 l_2 \dot{\theta}_1 \dot{\theta}_2 \cos(\theta_1 - \theta_2)].$$

(b) A energia potencial é

$$V = -m_1 g y_1 - m_2 g y_2 = -m_1 g l_1 \cos \theta_1 - m_2 g (l_1 \cos \theta_1 + l_2 \cos \theta_2).$$

(c) A Lagrangiana é $L = T - V$

$$\begin{aligned} L &= \frac{m_1}{2} (l_1^2 \dot{\theta}_1^2 + 2g l_1 \cos \theta_1) \\ &+ \frac{m_2}{2} [l_1^2 \dot{\theta}_1^2 + l_2^2 \dot{\theta}_2^2 + 2l_1 l_2 \dot{\theta}_1 \dot{\theta}_2 \cos(\theta_1 - \theta_2) + 2g (l_1 \cos \theta_1 + l_2 \cos \theta_2)]. \end{aligned}$$

(d) As equações de movimento são as equações de Euler-Lagrange

$$\frac{d}{dt} \left(\frac{\partial L}{\partial \dot{\theta}_i} \right) - \frac{\partial L}{\partial \theta_i} = 0 \quad (i = 1, 2).$$

Temos para $i = 1$

$$\begin{aligned} \frac{\partial L}{\partial \theta_1} &= -(m_1 + m_2) g l_1 \sin \theta_1 - m_2 l_1 l_2 \dot{\theta}_1 \dot{\theta}_2 \sin(\theta_1 - \theta_2), \\ \frac{\partial L}{\partial \dot{\theta}_1} &= (m_1 + m_2) l_1^2 \dot{\theta}_1 + m_2 l_1 l_2 \dot{\theta}_2 \cos(\theta_1 - \theta_2), \end{aligned}$$

e

$$\frac{d}{dt} \left(\frac{\partial L}{\partial \dot{\theta}_1} \right) = (m_1 + m_2) l_1^2 \ddot{\theta}_1 + m_2 l_1 l_2 \ddot{\theta}_2 \cos(\theta_1 - \theta_2) - m_2 l_1 l_2 \dot{\theta}_2 \sin(\theta_1 - \theta_2) (\dot{\theta}_1 - \dot{\theta}_2),$$

e para $i = 2$

$$\begin{aligned} \frac{\partial L}{\partial \theta_2} &= -m_2 g l_2 \sin \theta_2 + m_2 l_1 l_2 \dot{\theta}_1 \dot{\theta}_2 \sin(\theta_1 - \theta_2), \\ \frac{\partial L}{\partial \dot{\theta}_2} &= m_2 l_2^2 \dot{\theta}_2 + m_2 l_1 l_2 \dot{\theta}_1 \cos(\theta_1 - \theta_2), \end{aligned}$$

e

$$\frac{d}{dt} \left(\frac{\partial L}{\partial \dot{\theta}_2} \right) = m_2 l_2^2 \ddot{\theta}_2 - m_2 l_1 l_2 \dot{\theta}_1 \sin(\theta_1 - \theta_2) (\dot{\theta}_1 - \dot{\theta}_2) + m_2 l_1 l_2 \ddot{\theta}_1 \cos(\theta_1 - \theta_2).$$

As equações procuradas são, portanto,

$$\begin{aligned} (m_1 + m_2) (l_1^2 \ddot{\theta}_1 + g l_1 \sin \theta_1) + m_2 l_1 l_2 [\ddot{\theta}_2 \cos(\theta_1 - \theta_2) + \dot{\theta}_2^2 \sin(\theta_1 - \theta_2)] &= 0, \\ m_2 [l_2^2 \ddot{\theta}_2 + g l_2 \sin \theta_2] + m_2 l_1 l_2 [\ddot{\theta}_1 \cos(\theta_1 - \theta_2) - \dot{\theta}_1^2 \sin(\theta_1 - \theta_2)] &= 0. \end{aligned}$$

Q3. a) A Hamiltoniana do oscilador isotrópico é

$$H = \frac{1}{2m} (p_x^2 + p_y^2 + p_z^2) + \frac{m\omega^2}{2} (x^2 + y^2 + z^2),$$

que corresponde à soma de 3 osciladores unidimensionais independentes, um para cada direção cartesiana. Como os osciladores são independentes, os auto-estados do sistema são dados pelo produto tensorial (ou Kronecker, ou externo) dos auto-estados de cada oscilador

$$|n_1, n_2, n_3\rangle = |n_1\rangle \otimes |n_2\rangle \otimes |n_3\rangle,$$

onde $n_i = 0, 1, 2, \dots$ ($i = 1, 2, 3 \equiv x, y, z$) e $|n_i\rangle$ são os auto-estados do oscilador harmônico na direção i . As auto-energias são a soma das auto-energias dos 3 osciladores independentes

$$E_n = \left(n_1 + n_2 + n_3 + \frac{3}{2}\right) \hbar\omega \equiv \left(n + \frac{3}{2}\right) \hbar\omega,$$

onde definimos $n = n_1 + n_2 + n_3$, que é um número natural arbitrário.

b) $E_n = \frac{7}{2}\hbar\omega$ corresponde a $n = n_1 + n_2 + n_3 = 2$. Esta última equação pode ser satisfeita por $(n_1, n_2, n_3) = (0, 0, 2)$ e suas permutações $(0, 2, 0)$ e $(2, 0, 0)$ e por $(n_1, n_2, n_3) = (0, 1, 1)$ e suas permutações $(1, 0, 1)$ e $(1, 1, 0)$, correspondendo a uma degenerescência total de 6.

c) Os valores possíveis de serem medidos são as auto-energias E_n . A probabilidade de se medir a auto-energia E_n é

$$P_n = \sum_{n_1, n_2, n_3} \delta_{n, n_1 + n_2 + n_3} |\langle n_1, n_2, n_3 | \psi \rangle|^2.$$

Os únicos valores com probabilidade não nula de serem medidos nesse caso são

$$\begin{aligned} \left(0 + 0 + 1 + \frac{3}{2}\right) \hbar\omega &= \frac{5}{2} \hbar\omega = E_1 \\ \left(0 + 1 + 0 + \frac{3}{2}\right) \hbar\omega &= \frac{5}{2} \hbar\omega = E_1 \\ \left(0 + 1 + 1 + \frac{3}{2}\right) \hbar\omega &= \frac{7}{2} \hbar\omega = E_2. \end{aligned}$$

A probabilidade de se medir $E_1 = (5/2)\hbar\omega$ é

$$|\langle 0, 0, 1 | \psi \rangle|^2 + |\langle 0, 1, 0 | \psi \rangle|^2 = 1/2 + 1/4 = 3/4.$$

A probabilidade de se medir $E_2 = (7/2)\hbar\omega$ é

$$|\langle 0, 1, 1 | \psi \rangle|^2 = 1/4.$$

d) O resultado da medida foi E_1 . O estado logo após a medida é a projeção do estado $|\psi\rangle$ no auto-sub-espço de E_1 , ou seja,

$$|\psi(t > 0)\rangle = \alpha \left(\frac{1}{\sqrt{2}} |0, 0, 1\rangle + \frac{1}{2} |0, 1, 0\rangle \right),$$

onde α é uma constante de normalização. Normalizando o estado, acha-se $|\alpha|^2(1/2 + 1/4) = 1 \Rightarrow \alpha = 2/\sqrt{3}$. Assim,

$$|\psi(t > 0)\rangle = \sqrt{\frac{2}{3}} |0, 0, 1\rangle + \frac{1}{\sqrt{3}} |0, 1, 0\rangle.$$

- Q4. (a) Fazendo a mudança de variáveis $\nu = xT$, na expressão para a densidade de energia, fornecida no enunciado, obtém-se

$$u(T) = T^4 \int_0^\infty x^3 f(x) dx. \equiv KT^4,$$

onde K é uma constante independente da temperatura. Como u tem dimensão de energia por unidade de volume, segue que K tem dimensão de energia por unidade de temperatura absoluta à quarta potência ou

$$[K] = \frac{[E]}{l^3 k^4} = \frac{m}{lt^2 k^4},$$

onde m tem dimensão de massa, l tem dimensão de comprimento, t tem dimensão de tempo e k tem dimensão de temperatura absoluta e usamos que $[E] = ml^2/t^2$.

(b)

(i) O fator $\frac{8\pi\nu^2}{c^3}d\nu$ é número de modos normais de vibração do campo eletromagnético, por unidade de volume, com frequência no intervalo $[\nu, \nu + d\nu]$.

(ii) Se $h\nu \ll k_B T$, $\exp(h\nu/k_B T) \approx 1 + h\nu/k_B T$ e a distribuição de energia é

$$\frac{h\nu}{e^{(h\nu/k_B T)} - 1} \approx \frac{h\nu}{\frac{h\nu}{k_B T}} = k_B T.$$

(iii) O resultado obtido no item anterior é o que seria obtido utilizando um tratamento clássico, via o *teorema de equipartição* para osciladores clássicos: $k_B T/2$ para cada termo quadrático na energia, termo cinético e potencial harmônico.

(c) Determinamos primeiramente t_P . Escrevendo, de maneira geral,

$$t_P = G^\alpha h^\beta c^\gamma$$

e levando em conta que

$$[G] = l^3 t^{-2} m^{-1}; \quad [\hbar] = ml^2 t^{-1}; \quad [c] = lt^{-1},$$

obtem-se

$$l^{3\alpha+2\beta+\gamma} m^{-\alpha+\beta} t^{-2\alpha-\beta-\gamma} = t.$$

Logo, $\alpha = \beta = 1/2$ e $\gamma = -5/2$. Portanto,

$$t_P = \sqrt{\frac{\hbar G}{c^5}}.$$

A distância de Planck é

$$l_P = ct_P = \sqrt{\frac{\hbar G}{c^3}}.$$

De maneira similar, para a massa de Planck

$$l^{3\alpha+2\beta+\gamma} m^{-\alpha+\beta} t^{-2\alpha-\beta-\gamma} = m_P,$$

que fornece $\alpha = -\beta = -1/2$ e $\gamma = 1/2$. Logo,

$$m_P = \sqrt{\frac{\hbar c}{G}}.$$

A temperatura de Planck pode ser determinada fazendo a razão entre a energia de Planck, $m_P c^2$, e a constante de Boltzmann

$$T_P = \frac{m_P c^2}{k_B} = \sqrt{\frac{\hbar c^5}{G k_B^2}}.$$

Utilizando os valores numéricos das quatro constantes fundamentais, \hbar , c , G e k_B

$$t_P \approx 10^{-44} \text{ s}; \quad l_P \approx 10^{-35} \text{ m}; \quad m_P \approx 10^{-8} \text{ kg}; \quad T_P \approx 10^{32} \text{ K}.$$

Q5. (a) A conservação de energia interna leva a

$$m_x c_x (T_x - T_{eq}) = (K + m_{H_2O} c_{H_2O}) (T_{eq} - T_{amb}) \Rightarrow c_x = \frac{(K + m_{H_2O} c_{H_2O}) (T_{eq} - T_{amb})}{m_x (T_x - T_{eq})}.$$

(b) Usando os dados fornecidos e as fórmulas de propagação de erros do formulário

$$\begin{aligned} c_x &= \frac{(30,0 + 50,0 \times 1,0)(27,8 \pm 0,1 - 25,0 \pm 0,1)}{200(37,8 - 27,8 \pm 0,1)} \\ &= 0,40 \times \frac{2,8 \pm 0,14}{10,0 \pm 0,1}. \end{aligned}$$

A fração acima é

$$\begin{aligned} \frac{2,8 \pm 0,14}{10,0 \pm 0,1} &= 0,28 \left[1 \pm \sqrt{\left(\frac{0,14}{2,8}\right)^2 + \left(\frac{0,1}{10,0}\right)^2} \right] \\ &= 0,28 \left[1 \pm \sqrt{25 \times 10^{-4} + 10^{-4}} \right] \\ &= 0,28 \left[1 \pm \sqrt{26 \times 10^{-4}} \right] \\ &= 0,28 \left[1 \pm 5,1 \times 10^{-2} \right] \\ &= 0,28 \pm 0,014. \end{aligned}$$

Finalmente,

$$\begin{aligned} c_x &= 0,40 \times (0,28 \pm 0,014) \\ c_x &= (0,112 \pm 0,006) \text{ cal/ (g}^\circ\text{C)}. \end{aligned}$$

EUf

**Exame Unificado
das Pós-graduações em Física**

Para o primeiro semestre de 2017

Gabarito

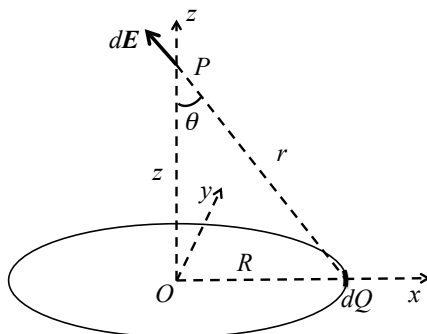
Parte 2

- **Estas são sugestões de possíveis respostas.**

Outras possibilidades também podem ser consideradas corretas, desde que equivalentes às respostas sugeridas abaixo.

- Q6. a) O elemento de carga dQ do anel produzirá um campo $d\vec{E}$ no ponto P , como mostrado na figura. O módulo deste elemento de campo elétrico é

$$dE = \frac{dQ}{4\pi\epsilon_0 r^2}.$$



A componente deste elemento de campo elétrico perpendicular ao eixo z é cancelada pela componente perpendicular ao eixo z produzida pelo elemento de carga situado na posição diametralmente oposta do anel. Ao somar os elementos de campo elétrico devido a todos os elementos de carga do anel, apenas sobrevivem as componentes na direção do eixo z ,

$$dE_z = \frac{dQ}{4\pi\epsilon_0 r^2} \cos \theta = \frac{dQ}{4\pi\epsilon_0 r^2} \frac{z}{r}.$$

Somando todas as contribuições dos elementos de carga do anel, obtemos

$$\vec{E} = \hat{z} \frac{Qz}{4\pi\epsilon_0 r^3} = \hat{z} \frac{Qz}{4\pi\epsilon_0 (R^2 + z^2)^{3/2}}.$$

- b) O potencial elétrico devido ao elemento de carga dQ no ponto P é

$$dV(z) = \frac{dQ}{4\pi\epsilon_0 r}.$$

O potencial devido a todas as contribuições dos elementos de carga do anel é obtido somando todas as contribuições, donde se obtém

$$V(z) = \frac{Q}{4\pi\epsilon_0 r} = \frac{Q}{4\pi\epsilon_0 \sqrt{R^2 + z^2}}.$$

- c) A energia cinética inicial da partícula é nula, porque ela parte do repouso. A energia potencial elétrica inicial da partícula é nula também, porque $-qV(z_0) \approx 0$ se $z_0 \gg R$. A conservação da energia mecânica (cinética mais potencial elétrica) nos dá a velocidade v no centro do anel via

$$0 + 0 = \frac{mv^2}{2} + (-q)V(0) = \frac{mv^2}{2} - q \frac{Q}{4\pi\epsilon_0 R},$$

donde

$$v = \sqrt{\frac{qQ}{2\pi\epsilon_0 mR}}.$$

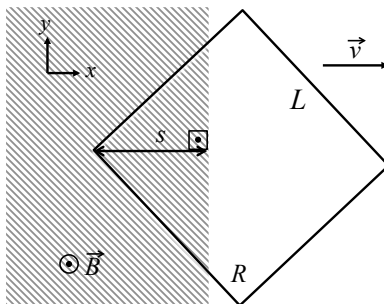
- Q7. a) Como o aro é quadrado, a área da região interna ao aro e contida no retângulo sombreado é um triângulo isósceles de altura s e ângulos internos $45^\circ, 90^\circ$ e 45° . Portanto, o tamanho da base do triângulo é $2s$ e sua área é

$$A = \frac{1}{2}s(2s) = s^2.$$

O fluxo do campo magnético através do aro é

$$\Phi = \int \vec{B} \cdot d\vec{S} = BA = Bs^2,$$

onde usamos o fato de que o campo magnético é constante na região sombreada e normal ao plano da figura.



- b) A força eletromotriz induzida pode ser calculada pela lei de Faraday:

$$\varepsilon = -\frac{d\Phi}{dt} = -B2s\frac{ds}{dt} = -2Bsv,$$

e o valor da corrente elétrica é

$$I = \frac{2Bsv}{R}. \quad (5)$$

A área sombreada diminui com o movimento do aro e, portanto, o fluxo do campo magnético também diminui. O sentido da força eletromotriz, pela lei de Lenz, é anti-horário para se contrapor à diminuição do fluxo de \vec{B} . Segue que a corrente fluirá também no sentido anti-horário.

- c) A força magnética sobre um elemento do aro é

$$d\vec{F}_m = Id\vec{l} \times \vec{B}.$$

Os elementos do aro dentro da região sombreada são: $d\vec{l} = -\frac{\sqrt{2}}{2}(\hat{x}dl + \hat{y}dl)$ (lado superior esquerdo) e $d\vec{l} = \frac{\sqrt{2}}{2}(\hat{x}dl - \hat{y}dl)$ (lado inferior esquerdo). A força magnética é, então,

$$d\vec{F}_m = I\left[-\frac{\sqrt{2}}{2}(\hat{x}dl + \hat{y}dl) \times B\hat{z} + \frac{\sqrt{2}}{2}(\hat{x}dl - \hat{y}dl) \times B\hat{z}\right],$$

ou

$$d\vec{F}_m = -\sqrt{2}IBdl\hat{x},$$

e integrando em dl de 0 a $\sqrt{2}s$ (lembrando que as contribuições dos dois segmentos já foram somadas) obtemos

$$\vec{F}_m = -2IBs\hat{x}. \quad (6)$$

Substituindo a Eq. (5) na Eq. (6), obtemos

$$\vec{F}_m = -\hat{x}\frac{4B^2s^2v}{R}.$$

Para que o quadrado se mova com velocidade constante, temos que aplicar uma força de mesmo módulo que \vec{F}_m , mas de sentido oposto, isto é para a direita (sentido positivo de x).

Q8. a) A parte da Hamiltoniana devida ao campo elétrico é

$$\hat{V}_E = (-e)(-E\hat{x}) = eE\hat{x},$$

onde \hat{x} é o operador posição. A Hamiltoniana total é a soma da Hamiltoniana do oscilador harmônico e \hat{V}_E

$$\hat{H} = \frac{\hat{p}^2}{2m} + \frac{m\omega^2 \hat{x}^2}{2} + eE\hat{x}.$$

b) A correção da energia do primeiro estado excitado em ordem linear em E é

$$\Delta E_1^{(1)} = \langle 1 | \hat{V}_E | 1 \rangle = eE \langle 1 | \hat{x} | 1 \rangle.$$

Podemos usar a definição do operador de destruição

$$\hat{a} = \frac{1}{\sqrt{2}} \left(\sqrt{\frac{m\omega}{\hbar}} \hat{x} + i \frac{\hat{p}}{\sqrt{m\hbar\omega}} \right),$$

e obter

$$\hat{x} = \sqrt{\frac{\hbar}{2m\omega}} (\hat{a} + \hat{a}^\dagger).$$

Logo, a correção procurada é

$$\Delta E_1^{(1)} = eE \sqrt{\frac{\hbar}{2m\omega}} \langle 1 | (\hat{a} + \hat{a}^\dagger) | 1 \rangle = 0.$$

c) A correção da energia do primeiro estado excitado em ordem quadrática em E é

$$\begin{aligned} \Delta E_1^{(2)} &= \langle 1 | V | \delta\psi_1^{(1)} \rangle \\ &= \left(\sqrt{\frac{\hbar}{2m\omega}} \frac{eE}{\hbar\omega} \right) eE \sqrt{\frac{\hbar}{2m\omega}} \langle 1 | (\hat{a} + \hat{a}^\dagger) | (|0\rangle - \sqrt{2}|2\rangle) \rangle \\ &= \frac{e^2 E^2}{2m\omega^2} (\langle 1 | 1 \rangle - 2\langle 1 | 1 \rangle) = -\frac{e^2 E^2}{2m\omega^2}. \end{aligned}$$

d) Podemos re-escrever a Hamiltoniana total do sistema como

$$\hat{H} = \frac{\hat{p}^2}{2m} + \frac{m\omega^2}{2} \left(\hat{x} + \frac{eE}{m\omega^2} \right)^2 - \frac{e^2 E^2}{2m\omega^2}.$$

Definindo $\hat{x}' = \hat{x} + eE/(m\omega^2)$ e observando que $[\hat{x}', \hat{p}] = [\hat{x}, \hat{p}] = i\hbar$, segue que o Hamiltoniano em termos de \hat{x}'

$$\hat{H} = \frac{\hat{p}^2}{2m} + \frac{m\omega^2}{2} (\hat{x}')^2 - \frac{e^2 E^2}{2m\omega^2}$$

corresponde a um oscilador harmônico simples mais uma constante. Portanto, suas auto-energias são

$$E_n = \left(n + \frac{1}{2} \right) \hbar\omega - \frac{e^2 E^2}{2m\omega^2}.$$

Por outro lado, do cálculo perturbativo temos

$$E_1^{(0)} + \Delta E_1^{(1)} + \Delta E_1^{(2)} = \frac{3}{2} \hbar\omega - \frac{e^2 E^2}{2m\omega^2},$$

que é igual ao resultado exato. Isto indica que as correções de ordem superior são todas nulas.

- Q9. (a) Denotemos quantidades no referencial da Terra sem “linha” e no referencial da nave com “linha”. O intervalo de tempo próprio medido pelos astronautas para a viagem de ida é $\Delta t' = 3T/4$ anos. O intervalo de tempo medido na Terra, por outro lado, é $\Delta t = cT/V$, onde V é a velocidade da nave. Da fórmula de dilatação temporal

$$\Delta t' = \gamma(V)\Delta t = \frac{\Delta t}{\sqrt{1 - \frac{V^2}{c^2}}} \Rightarrow \frac{3}{4} = \frac{c/V}{\sqrt{1 - \frac{V^2}{c^2}}},$$

donde se obtém que

$$V = \frac{4c}{5}.$$

(b) A distância D' percorrida pela nave em seu próprio referencial corresponde à distância percorrida no referencial da Terra cT contraída pelo fator de Lorentz $\gamma(V = \frac{4c}{5}) = \frac{5}{3}$. Logo, $D' = cT/\gamma = \frac{3cT}{5}$.

(c) Seja $t_1 = t'_1 = 0$ o instante de emissão do primeiro pulso com a nave ainda na posição $x_1 = x'_1 = 0$. O segundo pulso é emitido em $t'_2 = T_0 = 1$ ano, na posição $x_2 = Vt_2$ ($x'_2 = 0$). Esse pulso chegará na Terra em $t_3 = t_2 + x_2/c = T_P$, onde T_P é o período procurado, medido no referencial da Terra. Da fórmula da dilatação temporal, $t_2 = \gamma(V)t'_2 = \frac{5}{3}$ anos. Assim,

$$T_P = t_2 + \frac{x_2}{c} = t_2 \left(1 + \frac{V}{c}\right) = \frac{5}{3} \left(1 + \frac{4}{5}\right) = 3 \text{ anos}.$$

Alternativamente, da expressão do efeito Doppler da luz com $T_0 = 1$ ano

$$T_P = T_0 \sqrt{\frac{1 + V/c}{1 - V/c}} = 1 \text{ ano} \sqrt{\frac{1 + 4/5}{1 - 4/5}} = 3 \text{ anos}.$$

(d) A velocidade do módulo espacial no referencial da Terra é

$$u_x = \frac{u'_x + V}{1 + \frac{Vu'_x}{c^2}} = \frac{\frac{-5c}{6} + \frac{4c}{5}}{1 - \frac{4.5}{5.6}} = -\frac{c}{10}.$$

Portanto, o tempo da viagem de retorno do módulo é

$$t_R = (cT/2)/|u_x| = \frac{cT}{2} \frac{10}{c} = 5T.$$

Este tempo deve ser somado ao tempo necessário para chegar à metade do caminho antes de ser feito o retorno

$$t_{1/2} = (cT/2)/V = \frac{5T}{8}.$$

Assim, o tempo total procurado é

$$t_{\text{tot}} = t_{1/2} + t_R = 5T + \frac{5T}{8} = \frac{45T}{8}.$$

Q10. (a) Podemos escrever

$$E_n = \hbar\omega_0 \left(2n + 1 + \frac{1}{2} \right) = \hbar\omega_0 \left(2n + \frac{3}{2} \right) \quad n = 0, 1, 2, \dots$$

A função de partição para o ensemble canônico de um oscilador é

$$Z_1 = \sum_{n=0}^{\infty} e^{-\beta\hbar\omega_0(2n+\frac{3}{2})} = e^{-\frac{3}{2}\beta\hbar\omega_0} \sum_{n=0}^{\infty} e^{-2\beta\hbar\omega_0 n} = e^{-\frac{3}{2}\beta\hbar\omega_0} \sum_{n=0}^{\infty} x^n,$$

onde $\beta \equiv \frac{1}{k_B T}$ e $x = e^{-2\beta\hbar\omega_0}$. Usando $\sum_{n=0}^{\infty} x^n = 1/(1-x)$,

$$Z_1 = \frac{e^{-\frac{3}{2}\beta\hbar\omega_0}}{1 - e^{-2\beta\hbar\omega_0}}.$$

A função de partição para o sistema de N osciladores é $Z = Z_1^N$. A energia interna por oscilador é

$$\begin{aligned} u &= \frac{U}{N} = -\frac{1}{N} \frac{\partial}{\partial \beta} \ln Z = -\frac{\partial}{\partial \beta} \ln Z_1 = \frac{\partial}{\partial \beta} \left[\frac{3}{2}\beta\hbar\omega_0 + \ln(1 - e^{-2\beta\hbar\omega_0}) \right] \\ &= \frac{3}{2}\hbar\omega_0 + \frac{2\hbar\omega_0 e^{-2\beta\hbar\omega_0}}{1 - e^{-2\beta\hbar\omega_0}} = \hbar\omega_0 \left(\frac{3}{2} + \frac{2}{e^{2\beta\hbar\omega_0} - 1} \right). \end{aligned}$$

No limite clássico $\hbar\omega_0 \ll k_B T$, $e^{2\beta\hbar\omega_0} \approx 1 + 2\beta\hbar\omega_0$ e

$$u \approx \hbar\omega_0 \left(\frac{3}{2} + \frac{2}{2\beta\hbar\omega_0} \right) = \frac{3}{2}\hbar\omega_0 + k_B T \approx k_B T.$$

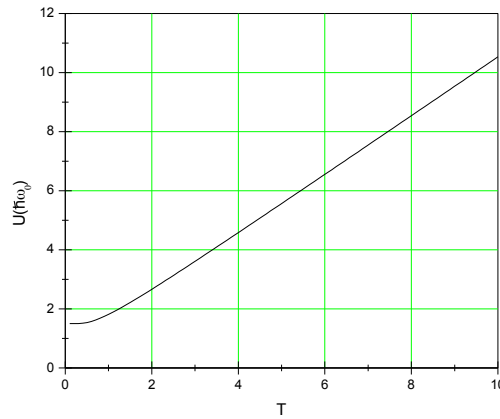


Figura 1: Esboço de $u \times T$.

(b) A entropia por oscilador é

$$\begin{aligned}
 s &= \frac{S}{N} = \frac{U - F}{NT} = \frac{u}{T} + \frac{k_B \ln Z}{N} = \frac{u}{T} + k_B \ln Z_1 \\
 &= \frac{\hbar\omega_0}{T} \left(\frac{3}{2} + \frac{2}{e^{2\beta\hbar\omega_0} - 1} \right) - k_B \left[\frac{3}{2}\beta\hbar\omega_0 + \ln(1 - e^{-2\beta\hbar\omega_0}) \right] \\
 &= \frac{2\hbar\omega_0/T}{e^{2\beta\hbar\omega_0} - 1} - k_B \ln(1 - e^{-2\beta\hbar\omega_0}),
 \end{aligned}$$

onde usamos alguns resultados do item (a). No limite clássico

$$s \approx \frac{2\hbar\omega_0/T}{2\beta\hbar\omega_0} - k_B \ln(2\beta\hbar\omega_0) = k_B \left[1 + \ln \left(\frac{k_B T}{2\hbar\omega_0} \right) \right].$$

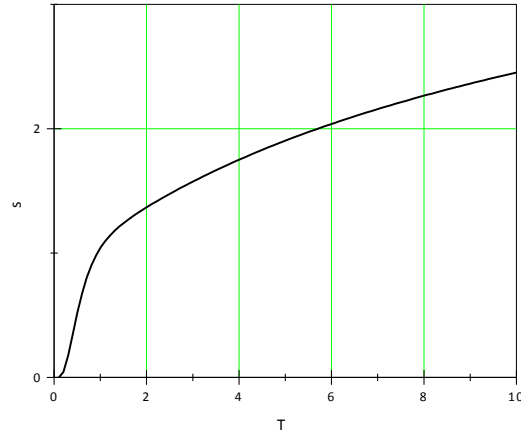


Figura 2: Esboço de s x T .

EUf

**Exame Unificado
das Pós-graduações em Física**

Para o segundo semestre de 2017

Gabarito

Parte 1

- **Estas são sugestões de possíveis respostas.**

Outras possibilidades também podem ser consideradas corretas, desde que equivalentes às respostas sugeridas abaixo.

Q1. (a) As componentes vertical (y) e horizontal (x) da equação da segunda lei de Newton são

$$\begin{aligned} F_y &= T \cos \theta - mg = m\ddot{y}, \\ F_x &= -T \sin \theta = m\ddot{x}, \end{aligned}$$

onde T é a tração no fio. Para pequenos ângulos θ , o movimento é aproximadamente horizontal e $y = \dot{y} = \ddot{y} \approx 0$. Assim, $T \cos \theta \approx T \approx mg$. A dinâmica horizontal fica então

$$\begin{aligned} m\ddot{x} &= -mg \sin \theta \approx -mg\theta \approx -mg \frac{x}{l} \\ \Rightarrow \ddot{x} + \frac{g}{l}x &= 0. \end{aligned}$$

Esta é a equação do oscilador harmônico simples com frequência angular $\omega = \sqrt{g/l}$. O período procurado é, portanto,

$$T = \frac{2\pi}{\omega} = 2\pi \sqrt{\frac{l}{g}}.$$

(b) Como a massa da esfera era muito maior que a massa do fio e os deslocamentos iniciais eram muito menores que o comprimento do fio, o que foi confirmado pela ausência de variação do período dentro do intervalo de variação dos deslocamentos iniciais, podemos tratar o pêndulo utilizado com um pêndulo simples. Assim, utilizando a resposta do item anterior,

$$g = 4\pi^2 \frac{l}{T^2}.$$

Usando os valores medidos

$$g = 4\pi^2 \frac{4,00}{(4,00)^2} = 9,86960 \text{ m/s}^2,$$

que ainda está expresso com algarismos significativos em excesso. Para o cálculo do erro de g , utilizamos

$$\begin{aligned} \Delta g &= \sqrt{\Delta_1^2 + \Delta_2^2}, \\ \Delta_1 &= \frac{\partial g}{\partial l} \Delta_l = 4\pi^2 \frac{1}{T^2} \Delta_l, \\ \Delta_2 &= \frac{\partial g}{\partial T} \Delta_T = -8\pi^2 \frac{l}{T^3} \Delta_T. \end{aligned}$$

Usando os dados fornecidos

$$\begin{aligned} \Delta_1 &= \pi^2 \times 5 \times 10^{-3} \\ \Delta_2 &= -\pi^2 \times 25 \times 10^{-3}, \end{aligned}$$

donde

$$\Delta g = \pi^2 \times \sqrt{650} \times 10^{-3} = 5\pi^2 \times \sqrt{26} \times 10^{-3} \approx 0,2 \text{ m/s}^2.$$

Alternativamente, pode-se argumentar que $\Delta_2 \gg \Delta_1$ e $\Delta g \approx |\Delta_2|$. O resultado final é

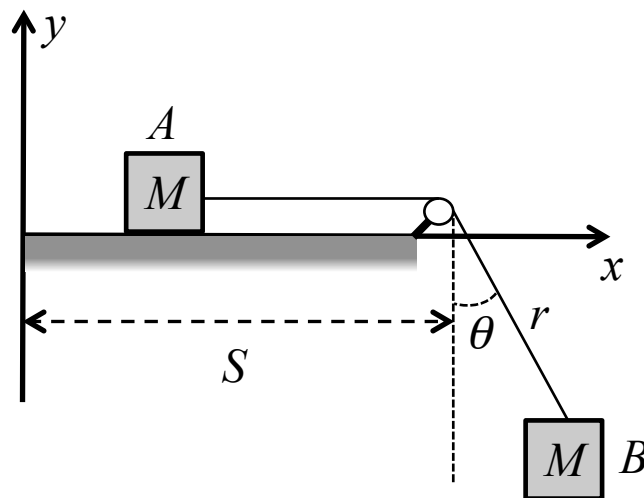
$$g = 9,9 \pm 0,2 \text{ m/s}^2.$$

Q2. Considerando o sistema de referência da figura abaixo, definimos as coordenadas do corpo A como x_A e $y_A = 0$ e do corpo B como x_B e y_B . Dadas as distâncias S e r definidas na figura, segue que

$$\begin{aligned}x_B &= S + r \sin \theta, \\y_B &= -r \cos \theta,\end{aligned}$$

e a inextensibilidade da corda impõe o vínculo entre as coordenadas

$$(S - x_A) + r = l.$$



(a) Para esse item, podemos impor $\theta = 0$ desde o início. Nesse caso,

$$\begin{aligned}\dot{x}_B &= 0, \\ \dot{y}_B &= -\dot{r}, \\ \dot{x}_A &= \dot{r},\end{aligned}$$

onde usamos o vínculo na última equação. A energia potencial gravitacional do corpo B é $V = Mgy_B = -Mgr$, onde tomamos a altura $y = 0$ como referência (e, portanto, o corpo A não contribui para V). A Lagrangiana do sistema é

$$\begin{aligned}L_a &= \frac{M}{2} (\dot{x}_A^2 + \dot{x}_B^2 + \dot{y}_B^2) - V \\ L_a &= M\dot{r}^2 + Mgr.\end{aligned}$$

A equação de Euler-Lagrange é

$$\begin{aligned}\frac{d}{dt} \left(\frac{\partial L_a}{\partial \dot{r}} \right) &= \frac{\partial L_a}{\partial r} \\ 2M\ddot{r} &= Mg \Rightarrow \ddot{r} = \frac{g}{2},\end{aligned}$$

que é a aceleração comum pedida.

(b) Deixando agora θ variar, as componentes das velocidades ficam

$$\begin{aligned}\dot{x}_B &= \dot{r} \sin \theta + r \dot{\theta} \cos \theta, \\ \dot{y}_B &= -\dot{r} \cos \theta + r \dot{\theta} \sin \theta, \\ \dot{x}_A &= \dot{r},\end{aligned}$$

e a Lagrangiana do sistema fica

$$\begin{aligned}L_b &= \frac{M}{2} (\dot{x}_A^2 + \dot{x}_B^2 + \dot{y}_B^2) - Mgy_B \\ L_b &= \frac{M}{2} \dot{r}^2 + \frac{M}{2} (\dot{r}^2 + r^2 \dot{\theta}^2) + Mgr \cos \theta.\end{aligned}$$

A equação de Euler-Lagrange para r é

$$\begin{aligned}\frac{d}{dt} \left(\frac{\partial L_b}{\partial \dot{r}} \right) &= \frac{\partial L_b}{\partial r} \\ 2\ddot{r} &= r \dot{\theta}^2 + g \cos \theta.\end{aligned}\tag{1}$$

A equação de Euler-Lagrange para θ é

$$\begin{aligned}\frac{d}{dt} \left(\frac{\partial L_b}{\partial \dot{\theta}} \right) &= \frac{\partial L_b}{\partial \theta} \\ \frac{d}{dt} (r^2 \dot{\theta}) &= 2r\dot{r}\dot{\theta} + r^2 \ddot{\theta} = -gr \sin \theta.\end{aligned}$$

Fazendo $\theta = \dot{\theta} = 0$ na Eq. (1), o lado direito se reduz a g e recuperamos

$$\ddot{r} = \frac{g}{2}.$$

(c) Nesse caso, precisamos acrescentar as contribuições da corda para as energias cinética e potencial. A energia cinética é

$$T_{\text{corda}} = \frac{m}{2} \dot{r}^2,$$

já que a velocidade da corda é a mesma do corpo B e a energia potencial é

$$V_{\text{corda}} = - \left(\frac{r}{l} \right) mg \frac{r}{2} = - \frac{mg}{2l} r^2,$$

onde usamos que a fração de massa da corda que pende ao lado da mesa é $(r/l)m$ e a altura do seu centro de massa é $-r/2$. Portanto, a Lagrangiana fica

$$\begin{aligned}L_c &= M\dot{r}^2 + \frac{m}{2} \dot{r}^2 + Mgr + \frac{mg}{2l} r^2 \\ L_c &= \left(M + \frac{m}{2} \right) \dot{r}^2 + Mgr + \frac{mg}{2l} r^2.\end{aligned}$$

A equação de Euler-Lagrange é

$$\begin{aligned}\frac{d}{dt} \left(\frac{\partial L_c}{\partial \dot{r}} \right) &= \frac{\partial L_c}{\partial r} \\ (2M + m) \ddot{r} &= Mg + \frac{mg}{l} r.\end{aligned}$$

Q3. (a) A energia total da partícula 1 é $E_1 = \gamma mc^2$. Segundo o enunciado, $E_1 = 2mc^2$. Portanto,

$$\gamma = \frac{1}{\sqrt{1 - \frac{v^2}{c^2}}} = 2,$$

$$1 - \frac{v^2}{c^2} = \frac{1}{4}.$$

Resolvendo para v ,

$$v = \frac{\sqrt{3}}{2}c.$$

(b) Da conservação de energia, $E_1^i + E_2^i = E^f$,

$$2mc^2 + mc^2 = \gamma(V)Mc^2$$

$$3m = \gamma(V)M \quad (2)$$

Da conservação de momento linear

$$\gamma(v)mv = \gamma(V)MV$$

$$2\frac{\sqrt{3}}{2}mc = \sqrt{3}mc = \gamma(V)MV. \quad (3)$$

Dividindo (3) por (2), temos

$$V = \frac{\sqrt{3}}{3}c. \quad (4)$$

Substituindo (4) em (2), temos

$$M = \frac{3m}{\gamma(V)} = \sqrt{1 - 1/3} 3m = \sqrt{2/3} 3m = \sqrt{6}m.$$

(c) A energia cinética procurada é dada por

$$K = \gamma(V)Mc^2 - Mc^2 = [\gamma(V) - 1] Mc^2.$$

Usando o resultado do item anterior,

$$K = \left(\frac{1}{\sqrt{1 - 1/3}} - 1 \right) Mc^2 = \left(\frac{\sqrt{6}}{2} - 1 \right) \sqrt{6}mc^2 = (3 - \sqrt{6})mc^2.$$

Q4. (a) Para $E \in [0, U_0]$, $E > V(x)$ se $x \in [0, L]$ e $E < V(x)$ se $x < 0$ ou $x > L$. Isso leva a que, nessas duas últimas regiões, a função de onda decaia exponencialmente com a distância ao poço, o que impõe condições de contorno restritivas sobre as soluções da equação de Schrödinger independente do tempo (ESIT). Como consequência dessas condições de contorno, a ESIT só pode ter solução para valores discretos de E .

(b) Se $x < 0$ (região I) ou $x > L$ (região III), a função de onda decai exponencialmente, enquanto que se $0 < x < L$ (região II) ela tem comportamento oscilatório/senoidal. Assim, de maneira geral,

$$\begin{aligned} \text{I} &: \psi(x) = Ae^{-\alpha|x|} = Ae^{\alpha x}, \quad x < 0, \\ \text{II} &: \psi(x) = C \cos(\gamma x + \phi), \quad 0 < x < L, \\ \text{III} &: \psi(x) = Be^{-\beta|x-L|} = Be^{-\beta(x-L)}, \quad x > L. \end{aligned}$$

(c) A ESIT é uma equação diferencial linear de segunda ordem. Logo, para um potencial contínuo por partes não infinito, a função de onda e sua primeira derivada são sempre contínuas. Impondo essas condições nas descontinuidades do potencial em $x = 0$ e $x = L$

$$\psi(x = 0^-) = \psi(x = 0^+) \Rightarrow A = C \cos \phi \quad (5)$$

$$\psi(x = L^-) = \psi(x = L^+) \Rightarrow C \cos(\gamma L + \phi) = B \quad (6)$$

$$\psi'(x = 0^-) = \psi'(x = 0^+) \Rightarrow A\alpha = -\gamma C \sin \phi \quad (7)$$

$$\psi'(x = L^-) = \psi'(x = L^+) \Rightarrow -\gamma C \sin(\gamma L + \phi) = -\beta B. \quad (8)$$

A ESIT

$$-\frac{\hbar^2}{2m}\psi''(x) + V(x)\psi(x) = E\psi(x) \Rightarrow -\frac{\hbar^2}{2m}\psi''(x) = [E - V(x)]\psi(x)$$

aplicada nas 3 regiões nos dá

$$\begin{aligned} \text{I} &: -\frac{\hbar^2}{2m}\alpha^2\psi(x) = -|U_0 - E|\psi(x) \Rightarrow \alpha = \sqrt{\frac{2m|U_0 - E|}{\hbar^2}}, \\ \text{II} &: -\frac{\hbar^2}{2m}\gamma^2\psi(x) = +E\psi(x) \Rightarrow \gamma = \sqrt{\frac{2mE}{\hbar^2}}, \\ \text{III} &: -\frac{\hbar^2}{2m}\beta^2\psi(x) = -|U_0 - E|\psi(x) \Rightarrow \beta = \alpha = \sqrt{\frac{2m|U_0 - E|}{\hbar^2}}. \end{aligned}$$

De (5) e (6), obtemos A e B em termos de C

$$A = C \cos \phi, \quad B = C \cos(\gamma L + \phi),$$

que, quando levadas em (7) e (8), fornecem

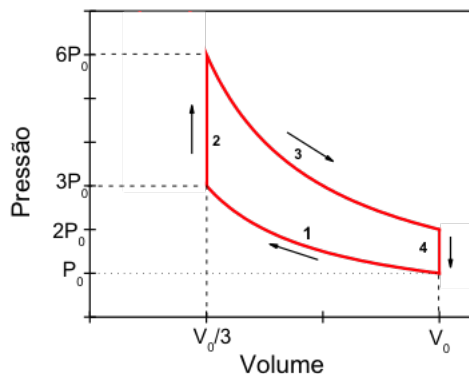
$$\alpha C \cos \phi = -\gamma C \sin \phi \Rightarrow \tan \phi = -\alpha/\gamma \quad (9)$$

$$\gamma C \sin(\gamma L + \phi) = \beta C \cos(\gamma L + \phi) \Rightarrow \tan(\gamma L + \phi) = \beta/\gamma = \alpha/\gamma. \quad (10)$$

As Eqs. (9) e (10) formam um sistema de duas equações em duas incógnitas, ϕ e E (através de α e γ), que pode ser resolvido para achar a energia E .

(d) No limite $L \rightarrow 0$, podemos ver que a condição na energia se torna $\alpha \rightarrow -\alpha$, que só tem solução se $\alpha \rightarrow 0$ ou $E \rightarrow U_0$.

Q5. (a) O esboço do ciclo num diagrama $P \times V$ é



(b) Usaremos a convenção de que trabalho realizado *pelo* gás e calor *injetado* no gás são positivos. Nesse caso, $\Delta U = Q - W$. A energia interna de um gás ideal só depende da sua temperatura. Como não há variação de temperatura no processo 1, a variação da energia interna é nula $\Delta U_1 = 0$. No processo 2 o trabalho é nulo, pois não há variação de volume. A variação de energia interna é, portanto, igual ao calor injetado no sistema (note que $n = 1$)

$$\Delta U_2 = Q_2 = C_V \Delta T = \frac{3R}{2}(2T_0 - T_0) = \frac{3RT_0}{2}.$$

(c) Como o processo 3 é isotérmico à temperatura $2T_0$, a pressão é dada por

$$P = \frac{2RT_0}{V},$$

donde se deduz que o trabalho realizado pelo gás é

$$W_3 = \int_{V_0/3}^{V_0} P dV = \int_{V_0/3}^{V_0} \frac{2RT_0}{V} dV = 2RT_0 \ln 3.$$

(d) De forma semelhante ao feito no item (c), o trabalho realizado pelo gás no processo isotérmico 1 à temperatura T_0 é

$$W_1 = \int_{V_0}^{V_0/3} P dV = \int_{V_0}^{V_0/3} \frac{RT_0}{V} dV = -RT_0 \ln 3,$$

de tal forma que o trabalho total é $W_{tot} = W_1 + W_3 = RT_0 \ln 3$, onde usamos que o trabalho é nulo nos processos isovoluméticos 2 e 4. Calor é injetado (positivo na nossa convenção) no sistema apenas nos processos 2 e 3, pois:

(i) o calor no processo 1 é igual ao trabalho W_1 (já que a energia interna é constante, porque a temperatura é constante) e $W_1 < 0$ (ver acima) e

(ii) o calor no processo 4 é $Q_4 = C_V \Delta T = \frac{3R}{2}(T_0 - 2T_0) = -\frac{3RT_0}{2} < 0$.

O calor no processo 2 foi calculado no item (b) e é $Q_2 = 3RT_0/2$. O calor no processo 3, que é isotérmico, é igual ao trabalho realizado pelo gás $Q_3 = W_3 = 2RT_0 \ln 3$, como calculado no item (c). O calor total injetado é, portanto,

$$Q_{inj} = Q_2 + Q_3 = RT_0 \left(\frac{3}{2} + 2 \ln 3 \right).$$

Finalmente, o rendimento da máquina é

$$\eta = \frac{W_{tot}}{Q_{inj}} = \frac{\ln 3}{\frac{3}{2} + 2 \ln 3} \approx 0,30.$$

EUf

**Exame Unificado
das Pós-graduações em Física**

Para o segundo semestre de 2017

Gabarito

Parte 2

- **Estas são sugestões de possíveis respostas.**

Outras possibilidades também podem ser consideradas corretas, desde que equivalentes às respostas sugeridas abaixo.

Q6. (a) O potencial eletrostático total $V(z)$ é a soma dos potenciais dos dois aros. O potencial devido ao aro de carga negativa é

$$V_-(z) = -\frac{\lambda \cdot 2\pi b}{4\pi\epsilon_0} \frac{1}{\sqrt{z^2 + b^2}},$$

já que cada elemento de carga do aro está à mesma distância do ponto P . Analogamente, o potencial devido ao aro de carga positiva é

$$V_+(z) = \frac{2\lambda \cdot 2\pi 2b}{4\pi\epsilon_0} \frac{1}{\sqrt{z^2 + (2b)^2}}.$$

Somando as duas contribuições

$$V(z) = V_-(z) + V_+(z) = \frac{\lambda b}{2\epsilon_0} \left[\frac{4}{\sqrt{z^2 + 4b^2}} - \frac{1}{\sqrt{z^2 + b^2}} \right].$$

(b) Por simetria, $E_x(z) = E_y(z) = 0$. O campo elétrico ao longo do eixo z é

$$E_z(z) = -\frac{\partial V(z)}{\partial z} = \frac{\lambda b z}{2\epsilon_0} \left[\frac{4}{(z^2 + 4b^2)^{3/2}} - \frac{1}{(z^2 + b^2)^{3/2}} \right].$$

(c) Pela segunda lei de Newton aplicada ao sistema, temos

$$m\ddot{z} = qE_z(z),$$

onde $E_z(z)$ é dado no item (b).

(d) Linearizando o campo elétrico do item (b) em torno de $z = 0$ obtemos

$$\ddot{z} \approx -\frac{q\lambda}{4\epsilon_0 m b^2} z.$$

A equação diferencial é equivalente à equação de um oscilador harmônico simples com frequência angular

$$\omega = \sqrt{\frac{q\lambda}{4\epsilon_0 m b^2}}.$$

A frequência de oscilação é, portanto,

$$f = \frac{\omega}{2\pi} = \frac{1}{4\pi b} \sqrt{\frac{q\lambda}{m\epsilon_0}}.$$

Q7. (a) O campo elétrico físico é dado por

$$\begin{aligned}\mathbf{E}(\mathbf{r},t) &= \text{Re} \left[\tilde{\mathbf{E}}(\mathbf{r},t) \right] \\ &= E_0 \left\{ \hat{\mathbf{x}} \text{Re} \left[e^{i(kz-\omega t)} \right] + \hat{\mathbf{y}} \text{Re} \left[i e^{i(kz-\omega t)} \right] \right\} \\ &= E_0 \left[\hat{\mathbf{x}} \cos(kz - \omega t) - \hat{\mathbf{y}} \sin(kz - \omega t) \right].\end{aligned}$$

(b) Vamos usar a lei de Faraday. Primeiramente, calculamos o rotacional de $\tilde{\mathbf{E}}$ usando a substituição $\nabla \rightarrow i\mathbf{k}$ para ondas planas

$$\begin{aligned}\nabla \times \tilde{\mathbf{E}} &= E_0 \nabla \times \left(e^{i(kz-\omega t)} (\hat{\mathbf{x}} + i\hat{\mathbf{y}}) \right) \\ &= E_0 i k \hat{\mathbf{z}} \times \left(e^{i(kz-\omega t)} (\hat{\mathbf{x}} + i\hat{\mathbf{y}}) \right) \\ &= i k E_0 e^{i(kz-\omega t)} (\hat{\mathbf{y}} - i\hat{\mathbf{x}}).\end{aligned}$$

Escrevendo o campo magnético na forma $\tilde{\mathbf{B}} = \tilde{\mathbf{B}}_0 e^{i(kz-\omega t)}$ obtemos

$$\frac{\partial \tilde{\mathbf{B}}}{\partial t} = -i\omega \tilde{\mathbf{B}}_0 e^{i(kz-\omega t)}.$$

Conseguimos então satisfazer a lei de Faraday se a amplitude $\tilde{\mathbf{B}}_0$ for tal que

$$\begin{aligned}\nabla \times \tilde{\mathbf{E}} &= -\frac{\partial \tilde{\mathbf{B}}}{\partial t}. \\ i k E_0 e^{i(kz-\omega t)} (\hat{\mathbf{y}} - i\hat{\mathbf{x}}) &= i\omega \tilde{\mathbf{B}}_0 e^{i(kz-\omega t)} \\ \Rightarrow \tilde{\mathbf{B}}_0 &= \frac{E_0}{c} (\hat{\mathbf{y}} - i\hat{\mathbf{x}}).\end{aligned}$$

Logo, o campo magnético complexo é

$$\tilde{\mathbf{B}}(\mathbf{r},t) = \frac{E_0}{c} (\hat{\mathbf{y}} - i\hat{\mathbf{x}}) e^{i(kz-\omega t)},$$

e o campo magnético físico é

$$\begin{aligned}\mathbf{B}(\mathbf{r},t) &= \text{Re} \left[\tilde{\mathbf{B}}(\mathbf{r},t) \right] \\ &= \frac{E_0}{c} \left\{ \hat{\mathbf{y}} \text{Re} \left[e^{i(kz-\omega t)} \right] - \hat{\mathbf{x}} \text{Re} \left[i e^{i(kz-\omega t)} \right] \right\} \\ &= \frac{E_0}{c} \left[\hat{\mathbf{y}} \cos(kz - \omega t) + \hat{\mathbf{x}} \sin(kz - \omega t) \right].\end{aligned}$$

(c) A densidade de momento linear é

$$\begin{aligned}\mathbf{g} &= \epsilon_0 \mathbf{E} \times \mathbf{B} \\ &= \frac{\epsilon_0 E_0^2}{c} (\hat{\mathbf{x}} \cos(kz - \omega t) - \hat{\mathbf{y}} \sin(kz - \omega t)) \times (\hat{\mathbf{y}} \cos(kz - \omega t) + \hat{\mathbf{x}} \sin(kz - \omega t)) \\ &= \frac{\epsilon_0 E_0^2}{c} \hat{\mathbf{z}}.\end{aligned}$$

(d) Escrevendo o vetor posição em coordenadas cilíndricas $\mathbf{r} = \rho \hat{\boldsymbol{\rho}} + z \hat{\mathbf{z}}$ e usando o resultado do item (c), obtemos

$$\begin{aligned}\boldsymbol{\ell}(\mathbf{r}) &= \frac{\epsilon_0 E_0^2}{c} (\rho \hat{\boldsymbol{\rho}} + z \hat{\mathbf{z}}) \times \hat{\mathbf{z}} \\ &= -\frac{\epsilon_0 E_0^2 \rho}{c} \hat{\boldsymbol{\phi}}.\end{aligned}$$

Q8. (a) Usando a relação entre a energia cinética e o momento linear (não-relativísticos) e a relação de de Broglie

$$\begin{aligned}\frac{p^2}{2m} &= E_{\text{cin}} \\ \Rightarrow \lambda &= \frac{h}{p} = \frac{h}{\sqrt{2m E_{\text{cin}}}} \\ &= \frac{6,63 \times 10^{-34}}{\sqrt{2 \times (9,11 \times 10^{-31}) \times (22) \times (1,6 \times 10^{-19})}} = 0,26 \text{ nm}.\end{aligned}$$

(b) Numa transição para o estado fundamental, temos

$$h f = 10,2 \text{ eV} = 13,6 \text{ eV} \left(\frac{1}{1} - \frac{1}{n^2} \right).$$

Podemos verificar que esta relação é satisfeita para $n = 2$, uma vez que

$$13,6 \times \frac{3}{4} = \frac{136}{4} \frac{3}{10} = 34 \times 3/10 = 10,2.$$

Assim, o número quântico do estado excitado é $n = 2$.

(c) Da relação de incerteza energia-tempo, temos

$$\Delta E \Delta t \geq \frac{\hbar}{2} \Rightarrow \Delta E \geq \frac{\hbar}{2\Delta t} \approx \frac{10^{-34}}{10^{-8}} \text{ J} = 10^{-7} \text{ eV},$$

que é a incerteza procurada.

(d) A energia cinética relativística é ($\beta \equiv v/c$).

$$E_{\text{cin}} = \frac{mc^2}{\sqrt{1 - \beta^2}} - mc^2.$$

Resolvendo para β^2 ,

$$\beta^2 = 1 - \left(1 + E_{\text{cin}}/mc^2 \right)^{-2}.$$

Como $E_{\text{cin}} \ll mc^2$, podemos expandir até primeira ordem, obtendo

$$\beta^2 = \frac{v^2}{c^2} \approx 1 - \left(1 - 2\frac{E_{\text{cin}}}{mc^2} \right) = 2\frac{E_{\text{cin}}}{mc^2}.$$

Logo,

$$E_{\text{cin}} \approx \frac{mv^2}{2} \approx \frac{p^2}{2m}.$$

Alternativamente, pode-se apontar que a energia cinética do elétron incidente, 22 eV, é muito menor que a energia de repouso da partícula, 511 keV, o que justifica o uso da aproximação não-relativística.

- Q9. (a) Como todo observável, à Hamiltoniana deve corresponder um operador Hermitiano. Sua representação matricial é realizada por uma matriz Hermitiana, ou seja, uma matriz que é igual a sua transposta complexa-conjugada, ou ainda, uma matriz cujos elementos H_{ij} são tais que

$$H_{ij} = H_{ji}^*.$$

Segue que, para que a matriz fornecida seja Hermitiana, então o elemento que falta é M_{23}^* e $E_3 \in \mathbb{R}$ e sua parte imaginária é zero.

- (b) A matriz de A é evidentemente diagonal e dada na base considerada por

$$A = \begin{pmatrix} 2 & 0 & 0 \\ 0 & 2 & 0 \\ 0 & 0 & 1 \end{pmatrix}.$$

O comutador entre A e H pode ser calculado

$$[A, H] = \begin{pmatrix} 0 & 0 & 0 \\ 0 & 0 & M_{23} \\ 0 & -M_{23}^* & 0 \end{pmatrix},$$

e ele é, de maneira geral, não nulo. Segue que A não pode ser medido simultaneamente com a energia. Alternativamente, pode-se dizer que A só pode ser medido simultaneamente com a energia se $M_{23} = 0$.

- (c) Devemos diagonalizar a Hamiltoniana. De sua estrutura de blocos, segue que o estado $|1\rangle$ é auto-estado de H com auto-valor $\lambda_1 = E_1$

$$H|1\rangle = E_1|1\rangle.$$

Focando agora no sub-espço gerado por $|2\rangle$ e $|3\rangle$, as outras autoenergias são soluções de

$$\det \begin{pmatrix} E_2 - \lambda & M_{23} \\ M_{23}^* & E_3 - \lambda \end{pmatrix} = (E_2 - \lambda)(E_3 - \lambda) - |M_{23}|^2 = 0 \Rightarrow \lambda^2 - \lambda(E_2 + E_3) + E_2E_3 - |M_{23}|^2 = 0.$$

Resolvendo a equação de segundo grau, obtemos as outras duas autoenergias

$$\lambda_{2,3} = \frac{E_2 + E_3 \pm \sqrt{(E_2 - E_3)^2 + 4|M_{23}|^2}}{2}.$$

- (d) A Hamiltoniana nesse caso é

$$H = \begin{pmatrix} 1 & 0 & 0 \\ 0 & 3 & 1 \\ 0 & 1 & 3 \end{pmatrix},$$

e os autovalores são, usando o resultado do item (c),

$$\lambda_1 = 1; \quad \lambda_2 = 2; \quad \lambda_3 = 4.$$

Já vimos que o auto-estado de λ_1 é $|\lambda_1\rangle = |1\rangle$. Os auto-estados de $\lambda_{2,3}$ são obtidos de

$$\begin{pmatrix} 3 - \lambda_{2,3} & 1 \\ 1 & 3 - \lambda_{2,3} \end{pmatrix} \begin{pmatrix} a \\ b \end{pmatrix} = \begin{pmatrix} 0 \\ 0 \end{pmatrix}.$$

Para $\lambda_2 = 2$, o auto-estado é

$$\frac{1}{\sqrt{2}} \begin{pmatrix} 1 \\ -1 \end{pmatrix} \rightarrow |\lambda_2\rangle = \frac{1}{\sqrt{2}} (|2\rangle - |3\rangle),$$

e para $\lambda_3 = 4$, o auto-estado é

$$\frac{1}{\sqrt{2}} \begin{pmatrix} 1 \\ 1 \end{pmatrix} \rightarrow |\lambda_3\rangle = \frac{1}{\sqrt{2}} (|2\rangle + |3\rangle).$$

O estado em $t = 0$ é $|2\rangle = \frac{1}{\sqrt{2}} (|\lambda_2\rangle + |\lambda_3\rangle)$. A evolução temporal posterior é simples na base de auto-estados de H

$$|\psi(t)\rangle = \frac{1}{\sqrt{2}} \left(e^{-i\frac{\lambda_2}{\hbar}t} |\lambda_2\rangle + e^{-i\frac{\lambda_3}{\hbar}t} |\lambda_3\rangle \right) = \frac{1}{\sqrt{2}} \left(e^{-i\frac{2}{\hbar}t} |\lambda_2\rangle + e^{-i\frac{4}{\hbar}t} |\lambda_3\rangle \right).$$

Na base original, o estado é

$$|\psi(t)\rangle = \frac{1}{2} \left[e^{-i\frac{2}{\hbar}t} (|2\rangle - |3\rangle) + e^{-i\frac{4}{\hbar}t} (|2\rangle + |3\rangle) \right] = \frac{1}{2} \left[\left(e^{-i\frac{4}{\hbar}t} + e^{-i\frac{2}{\hbar}t} \right) |2\rangle + \left(e^{-i\frac{4}{\hbar}t} - e^{-i\frac{2}{\hbar}t} \right) |3\rangle \right].$$

O vetor coluna correspondente na base original é

$$\frac{1}{2} \begin{pmatrix} 0 \\ e^{-i\frac{4}{\hbar}t} + e^{-i\frac{2}{\hbar}t} \\ e^{-i\frac{4}{\hbar}t} - e^{-i\frac{2}{\hbar}t} \end{pmatrix}.$$

Q10. (a) Nos itens abaixo, $1/\beta = k_B T$. Como os íons são independentes, a função de partição é dada pelo produto das funções de partição de cada íon

$$Z = Z_1^N,$$

onde

$$\begin{aligned} Z_1 &= \sum_{\sigma_1=-1,0,+1} e^{-\beta D \sigma_1^2 + \beta h \sigma_1} \\ &= e^{-\beta D + \beta h} + 1 + e^{-\beta D - \beta h} \\ &= 1 + 2e^{-\beta D} \cosh(\beta h). \end{aligned}$$

Logo

$$Z = (1 + 2e^{-\beta D} \cosh(\beta h))^N.$$

(b) A energia livre de Helmholtz por íon é

$$f = \frac{F}{N} = -\frac{k_B T}{N} \ln Z = -k_B T \ln Z_1 = -k_B T \ln(1 + 2e^{-\beta D} \cosh(\beta h)).$$

(c) A energia interna por íon é dada por

$$u = \frac{U}{N} = -\frac{1}{N} \frac{\partial}{\partial \beta} \ln Z = -\frac{\partial}{\partial \beta} \ln Z_1.$$

Calculando a derivada

$$u = \frac{2e^{-\beta D}}{2e^{-\beta D} \cosh h\beta + 1} (D \cosh h\beta - h \sinh h\beta).$$

(d) Para $h = 0$, temos que

$$u = \frac{2De^{-\beta D}}{2e^{-\beta D} + 1} = \frac{2D}{2 + e^{\beta D}}.$$

O calor específico é dado por

$$c = \frac{\partial u}{\partial T} = \frac{\partial u}{\partial \beta} \frac{\partial \beta}{\partial T} = \frac{2D^2 e^{\frac{D}{k_B T}}}{k_B T^2 (2 + e^{\frac{D}{k_B T}})^2}.$$

EUf

**Exame Unificado
das Pós-graduações em Física**

Para o primeiro semestre de 2018

Gabarito

Parte 1

- **Estas são sugestões de possíveis respostas.**

Outras possibilidades também podem ser consideradas corretas, desde que equivalentes às respostas sugeridas abaixo.

Q1. (a) As equações de movimento são

$$\mathbf{F}_g = -mg\hat{\mathbf{z}} = m\frac{d\mathbf{v}}{dt} \Rightarrow \dot{v}_x = 0, \quad \dot{v}_z = -g.$$

(b) Integrando em relação ao tempo as equações de movimento,

$$\begin{aligned} \dot{v}_x &= 0 \Rightarrow v_x(t) = C_1 \\ v_x(0) &= v_0 \cos \theta = C_1 \Rightarrow v_x(t) = v_0 \cos \theta, \end{aligned}$$

$$\begin{aligned} \dot{v}_z &= -g \Rightarrow v_z(t) = -gt + C_2 \\ v_z(0) &= v_0 \sin \theta = C_2 \Rightarrow v_z(t) = v_0 \sin \theta - gt. \end{aligned}$$

(c) Integrando em relação ao tempo as componentes da velocidade obtidas no item (b),

$$\begin{aligned} \frac{dx}{dt} = v_x &= v_0 \cos \theta \Rightarrow x(t) = v_0 t \cos \theta + C_1 \\ x(0) &= 0 = C_1 \Rightarrow x(t) = v_0 t \cos \theta, \end{aligned}$$

$$\begin{aligned} \frac{dz}{dt} &= v_0 \sin \theta - gt \Rightarrow z(t) = v_0 t \sin \theta - \frac{1}{2}gt^2 + C_2 \\ z(0) &= 0 = C_2 \Rightarrow z(t) = v_0 t \sin \theta - \frac{1}{2}gt^2. \end{aligned}$$

(d) Utilizando os resultados dos itens (b) e (c),

$$\begin{aligned} \mathbf{L} &= \mathbf{r} \times \mathbf{p} = m\mathbf{r} \times \mathbf{v} \\ \mathbf{L} &= m \left[\hat{\mathbf{x}}(v_0 t \cos \theta) + \hat{\mathbf{z}} \left(v_0 t \sin \theta - \frac{1}{2}gt^2 \right) \right] \times [\hat{\mathbf{x}}(v_0 \cos \theta) + \hat{\mathbf{z}}(v_0 \sin \theta - gt)] \\ \mathbf{L} &= \left(\frac{1}{2}mgv_0 t^2 \cos \theta \right) \hat{\mathbf{y}}. \end{aligned}$$

(e) Novamente, utilizando o resultado do item (c),

$$\begin{aligned} \mathbf{N} &= \mathbf{r} \times \mathbf{F}_g \\ \mathbf{N} &= \left[\hat{\mathbf{x}}(v_0 t \cos \theta) + \hat{\mathbf{z}} \left(v_0 t \sin \theta - \frac{1}{2}gt^2 \right) \right] \times (-mg\hat{\mathbf{z}}) \\ \mathbf{N} &= (mgv_0 t \cos \theta) \hat{\mathbf{y}}. \end{aligned}$$

Comparando os resultados dos itens (d) e (e) temos, como esperado,

$$\frac{d\mathbf{L}}{dt} = \mathbf{N}.$$

Q2. (a) A força pedida é

$$\mathbf{F}_2 = -\nabla U_2(r) = -\hat{\mathbf{r}} \frac{dU_2(r)}{dr} = -kr\hat{\mathbf{r}} = -k\mathbf{r} = -k(x\hat{\mathbf{x}} + y\hat{\mathbf{y}}).$$

(b) A energia cinética da partícula é dada por

$$T = \frac{1}{2}mv^2 = \frac{1}{2}m(\dot{r}^2 + r^2\dot{\theta}^2).$$

Como $U_1(y) = \lambda y = \lambda r \sin \theta$, a energia potencial em coordenadas polares é

$$U = \frac{1}{2}kr^2 + \lambda r \sin \theta.$$

A lagrangiana da partícula é, portanto,

$$\begin{aligned} L &= T - U, \\ L &= \frac{1}{2}m(\dot{r}^2 + r^2\dot{\theta}^2) - \frac{1}{2}kr^2 - \lambda r \sin \theta. \end{aligned}$$

Usando

$$\begin{aligned} \frac{\partial L}{\partial r} &= m\dot{\theta}^2 - kr - \lambda \sin \theta, \\ \frac{\partial L}{\partial \dot{r}} &= m\dot{r}, \\ \frac{\partial L}{\partial \theta} &= -\lambda r \cos \theta, \\ \frac{\partial L}{\partial \dot{\theta}} &= mr^2\dot{\theta}, \end{aligned}$$

as equações de movimento de Euler-Lagrange são dadas por

$$\begin{aligned} \frac{\partial L}{\partial r} - \frac{d}{dt} \left(\frac{\partial L}{\partial \dot{r}} \right) &= 0 \quad \Rightarrow \quad m\ddot{r} - m\dot{\theta}^2 = -kr - \lambda \sin \theta, \\ \frac{\partial L}{\partial \theta} - \frac{d}{dt} \left(\frac{\partial L}{\partial \dot{\theta}} \right) &= 0 \quad \Rightarrow \quad \frac{d}{dt} (mr^2\dot{\theta}) = -\lambda r \cos \theta, \\ m(r^2\ddot{\theta} + 2r\dot{r}\dot{\theta}) + \lambda r \cos \theta &= 0. \end{aligned} \tag{1}$$

(c) Utilizando os resultados do item (b), os momentos canonicamente conjugados são

$$\begin{aligned} p_r &= \frac{\partial L}{\partial \dot{r}} = m\dot{r} \quad \Rightarrow \quad \dot{r} = \frac{p_r}{m}, \\ p_\theta &= \frac{\partial L}{\partial \dot{\theta}} = mr^2\dot{\theta} \quad \Rightarrow \quad \dot{\theta} = \frac{p_\theta}{mr^2}. \end{aligned}$$

A hamiltoniana é dada por

$$H = p_r\dot{r} + p_\theta\dot{\theta} - L = \frac{p_r^2}{2m} + \frac{p_\theta^2}{2mr^2} + \frac{1}{2}kr^2 + \lambda r \sin \theta.$$

(d) O momento angular é

$$\mathbf{L} = \mathbf{r} \times \mathbf{p} = m\mathbf{r} \times \mathbf{v} = mr\hat{\mathbf{r}} \times (\dot{r}\hat{\mathbf{r}} + r\dot{\theta}\hat{\boldsymbol{\theta}}) = mr^2\dot{\theta}\hat{\mathbf{z}}.$$

Comparando o resultado acima com os resultados do item (c), temos que

$$p_\theta = L_z.$$

A equação de movimento (1) indica que $p_\theta = L_z = \text{constante}$ se $\lambda = 0$, isto é, \mathbf{L} é conservado apenas na ausência da força \mathbf{F}_1 .

Q3. (a) A forma geral das soluções $\psi_1(x)$ (região 1: $x < 0$) e $\psi_2(x)$ (região 2: $x > 0$) é

$$\begin{aligned}\psi_1(x) &= A e^{ik_1 x} + B e^{-ik_1 x}, & k_1 &= \sqrt{2mE}/\hbar, \\ \psi_2(x) &= C e^{ik_2 x} + D e^{-ik_2 x}, & k_2 &= \sqrt{2m(E - V_0)}/\hbar,\end{aligned}$$

onde A , B , C e D são constantes complexas a serem determinadas.

(b) O percentual pedido é dado pelo coeficiente de reflexão, que é obtido da razão entre as densidades de corrente $J = \frac{i\hbar}{2m}(\psi \frac{d\psi^*}{dx} - \psi^* \frac{d\psi}{dx})$ das ondas refletida e incidente. Ele é dado por $R = \frac{|B|^2}{|A|^2}$. Como as partículas são incidentes pela esquerda, $D = 0$. Os outros coeficientes são determinados exigindo-se a continuidade da função de onda e sua derivada em $x = 0$

$$\begin{aligned}\psi_1(0) &= \psi_2(0) \Rightarrow A + B = C, \\ \psi'_1(0) &= \psi'_2(0) \Rightarrow k_1(A - B) = k_2 C.\end{aligned}$$

Assim,

$$\frac{B}{A} = \frac{k_1 - k_2}{k_1 + k_2} \Rightarrow R = \frac{|B|^2}{|A|^2} = \left(\frac{k_1 - k_2}{k_1 + k_2} \right)^2 = \left(\frac{1 - k_2/k_1}{1 + k_2/k_1} \right)^2 = \left(\frac{1 - \sqrt{(E - V_0)/E}}{1 + \sqrt{(E - V_0)/E}} \right)^2.$$

(c) Para $E < V_0$, a solução geral é

$$\begin{aligned}\psi_1(x) &= A e^{ik_1 x} + B e^{-ik_1 x}, & k_1 &= \sqrt{2mE}/\hbar, \\ \psi_2(x) &= C e^{-\kappa x}, & \kappa &= \sqrt{2m(V_0 - E)}/\hbar > 0,\end{aligned}$$

onde A , B e C são constantes complexas a serem determinadas e já excluimos um termo com exponencial crescente para $x > 0$ por corresponder a uma função de onda que não é limitada superiormente quando $x \rightarrow +\infty$.

(d) A probabilidade pedida é o coeficiente de reflexão $R = \frac{|B|^2}{|A|^2}$, como no item (b).

$$\begin{aligned}\psi_1(0) &= \psi_2(0) \Rightarrow A + B = C, \\ \psi'_1(0) &= \psi'_2(0) \Rightarrow i k_1(A - B) = -\kappa C,\end{aligned}$$

donde

$$\frac{B}{A} = \frac{k_1 - i\kappa}{k_1 + i\kappa} \Rightarrow R = \frac{|B|^2}{|A|^2} = \frac{k_1^2 + \kappa^2}{k_1^2 + \kappa^2} = 1.$$

- Q4. (a) Do gráfico, pode-se estimar $y_1 \approx 25\mu\text{m}$. Para o ângulo, se L é a distância da grade ao plano do detector

$$\theta_1 \approx \text{tg}\theta_1 = y_1/L = \frac{2,5 \times 10^{-5}}{1,25} = 2,0 \times 10^{-5} \text{ rad.}$$

- (b) Se d é a separação entre as fendas da grade, a condição para interferência construtiva é, do formulário,

$$d \sin\theta_n = n\lambda.$$

Para o primeiro máximo ($n = 1$)

$$\lambda = d \sin\theta_1 \approx d \theta_1 = (100 \times 10^{-9})(2,0 \times 10^{-5}) = 2,0 \times 10^{-12} \text{ m.}$$

- (c) A massa molar do C_{60} é $60 \times 12 = 72 \times 10^1 \text{ g/mol}$. Logo, a massa de uma molécula é

$$M = \frac{72 \times 10^1 \text{ g}}{6,02 \times 10^{23}} = 1,2 \times 10^{-24} \text{ kg.}$$

O módulo do momento linear de uma molécula é

$$p = Mv = 1,2 \times 10^{-24} \times 220 = 2,6 \times 10^{-22} \text{ kg m/s.}$$

- (d) O comprimento de onda de de Broglie é

$$\lambda_{dB} = \frac{h}{p} = 6,63 \times 10^{-34} / 2,6 \times 10^{-22} = 2,6 \times 10^{-12} \text{ m.}$$

- Q5. (a) A pressão final P_f é a soma da pressão externa P_a e a pressão P_m devido à força da mola. Esta última é

$$P_m = \frac{kx}{A} = \frac{400 \times 2}{5 \times 10^{-3}} = 1,6 \times 10^5 \text{ N/m}^2,$$

onde x é a variação de comprimento do cilindro. Assim

$$P_f = P_m + P_a = 2,6 \times 10^5 \text{ N/m}^2.$$

- (b) A relação entre as variáveis termodinâmicas iniciais e finais é

$$\frac{P_i V_i}{T_i} = \frac{P_f V_f}{T_f} \Rightarrow T_f = \frac{P_f V_f T_i}{P_i V_i} = \frac{P_f T_i (L + x)}{P_i L} = \frac{2,6 \times 300 \times 27}{1 \times 25} = 8,4 \times 10^2 \text{ K}.$$

Alternativamente, da equação do gás ideal

$$T_f = \frac{P_f V_f}{nR} = \frac{2,6 \times 10^5 \times 5 \times 10^{-3} \times 27 \times 10^{-2}}{5 \times 10^{-2} \times 8,31} = 8,4 \times 10^2 \text{ K}.$$

- (c) O trabalho total W realizado pelo gás é igual à soma da variação de energia potencial elástica da mola W_m com o trabalho W_a realizado contra a pressão externa constante

$$\begin{aligned} W_m &= \frac{kx^2}{2} = \frac{400 \times 10^2 \times (2 \times 10^{-2})^2}{2} = 8 \text{ J}, \\ W_a &= P_a \Delta V = P_a A x = 1 \times 10^5 \times 5 \times 10^{-3} \times 2 \times 10^{-2} = 10 \text{ J}, \\ W &= W_m + W_a = 18 \text{ J}. \end{aligned}$$

- (d) O calor Q fornecido ao gás é igual ao trabalho total W calculado em (c) mais a variação da energia interna do gás ΔU

$$\begin{aligned} \Delta U &= n c_V \Delta T = 5 \times 10^{-2} \times 12,5 \times (8,4 \times 10^2 - 300) = 3,4 \times 10^2 \text{ J}, \\ Q &= \Delta U + W = 3,6 \times 10^2 \text{ J}. \end{aligned}$$

EUf

**Exame Unificado
das Pós-graduações em Física**

Para o primeiro semestre de 2018

Gabarito

Parte 2

- **Estas são sugestões de possíveis respostas.**

Outras possibilidades também podem ser consideradas corretas, desde que equivalentes às respostas sugeridas abaixo.

- Q6. (a) Há conservação de energia mecânica dos íons entre a fonte e a fenda de entrada. A energia mecânica total é a soma da energia cinética e potencial elétrica. Assim, se a velocidade final procurada tem módulo v e as energias mecânicas inicial e final são E_i e E_f , respectivamente,

$$E_i = qV = E_f = \frac{1}{2}mv^2 \Rightarrow v = \sqrt{\frac{2qV}{m}}.$$

Dentro da câmara, a energia mecânica, que é puramente cinética, é conservada, já que o campo magnético não realiza trabalho. Portanto, v é também o módulo da velocidade dos íons quando passam pela fenda de saída.

- (b) O módulo da força magnética \mathbf{F}_m dentro da câmara é

$$|\mathbf{F}_m| = |q(\mathbf{v} \times \mathbf{B})| = qvB,$$

pois \mathbf{v} e \mathbf{B} são perpendiculares entre si. A força magnética é a resultante centrípeta responsável pelo movimento circular uniforme dos íons. Portanto,

$$qvB = \frac{mv^2}{r} \Rightarrow m = \frac{qBr}{v} \Rightarrow m = \frac{qB^2r^2}{2V},$$

onde usamos o resultado do item (a) no último passo.

- (c) A resolução das medidas de massa Δm está relacionada ao erro na medida do raio Δr por

$$\Delta m = \frac{\partial m}{\partial r} \Delta r \Rightarrow \Delta m = \frac{qB^2r}{V} \Delta r.$$

Assim,

$$\Delta m = \frac{1,6 \times 10^{-19} \times (1,00)^2 \times 1,0 \times 10^{-1}}{4,0 \times 10^3} 100 \times 10^{-6} = 4,0 \times 10^{-28} \text{ kg}.$$

- (d) A diferença de massa entre os isótopos δm é aproximadamente duas vezes a massa do nêutron

$$\delta m = 2 \times 1,7 \times 10^{-27} \text{ kg} = 3,4 \times 10^{-27} \text{ kg}.$$

Essa diferença é 8,5 vezes a resolução do aparelho. Portanto, é possível distinguir os isótopos.

Q7. (a) Partindo das equações de Maxwell em meios materiais (dadas no formulário) e fazendo $\rho_F = 0$, $\mathbf{J}_F = \sigma \mathbf{E}$, $\mathbf{D} = \epsilon \mathbf{E}$ e $\mathbf{B} = \mu \mathbf{H}$,

$$\nabla \cdot \mathbf{D} = \rho_F \Rightarrow \nabla \cdot \mathbf{E} = 0, \quad (2)$$

$$\nabla \times \mathbf{E} = -\frac{\partial \mathbf{B}}{\partial t}, \quad (3)$$

$$\nabla \cdot \mathbf{B} = 0, \quad (4)$$

$$\nabla \times \mathbf{H} = \mathbf{J}_F + \frac{\partial \mathbf{D}}{\partial t} \Rightarrow \nabla \times \mathbf{B} = \mu \sigma \mathbf{E} + \mu \epsilon \frac{\partial \mathbf{E}}{\partial t}. \quad (5)$$

Deve-se notar que as equações sem fontes não são modificadas em meios materiais.

(b) Tomando o rotacional da Eq. (3)

$$\nabla \times \nabla \times \mathbf{E} = -\frac{\partial}{\partial t} (\nabla \times \mathbf{B}) \Rightarrow \nabla (\nabla \cdot \mathbf{E}) - \nabla^2 \mathbf{E} = -\frac{\partial}{\partial t} (\nabla \times \mathbf{B})$$

Usando as Eqs. (2) e (5)

$$-\nabla^2 \mathbf{E} = -\frac{\partial}{\partial t} \left(\mu \sigma \mathbf{E} + \mu \epsilon \frac{\partial \mathbf{E}}{\partial t} \right).$$

Finalmente,

$$\nabla^2 \mathbf{E} - \mu \sigma \frac{\partial \mathbf{E}}{\partial t} - \mu \epsilon \frac{\partial^2 \mathbf{E}}{\partial t^2} = 0.$$

(c) Supondo que $\mathbf{E}(x, t) = \mathbf{E}_0 e^{i(kx - \omega t)}$,

$$\begin{aligned} \nabla^2 \mathbf{E} &= \frac{\partial^2 \mathbf{E}}{\partial x^2} = -k^2 \mathbf{E} \\ \frac{\partial \mathbf{E}}{\partial t} &= -i\omega \mathbf{E} \\ \frac{\partial^2 \mathbf{E}}{\partial t^2} &= -\omega^2 \mathbf{E} \\ \Rightarrow (-k^2 + i\mu\sigma\omega + \mu\epsilon\omega^2) \mathbf{E} &= 0 \end{aligned}$$

Portanto

$$k^2 = \mu\epsilon\omega^2 + i\mu\sigma\omega = \mu\epsilon\omega^2 \left(1 + i\frac{\sigma}{\omega\epsilon} \right).$$

(d) Quando $\sigma \neq 0$, obtemos um k complexo, ou seja, $k = k_R + ik_I$, onde $k_R = \text{Re}[k]$ e $k_I = \text{Im}[k]$. Haverá então atenuação da amplitude da onda

$$\mathbf{E}(x, t) = \mathbf{E}_0 e^{i(kx - \omega t)} = \mathbf{E}_0 e^{i[(k_R + ik_I)x - \omega t]} = \mathbf{E}_0 e^{-k_I x} e^{i(k_R x - \omega t)}.$$

Quando $\sigma = 0$, k é real e a propagação da onda se dá com amplitude constante, sem atenuação.

- Q8. (a) Medidas da energia dão como resultado auto-valores do hamiltoniano. Ao auto-valor E_0 corresponde unicamente o estado $|1\rangle$. Portanto, o protocolo P_1 prepara sempre o estado $|1\rangle$.
 (b) Ao auto-valor E corresponde o sub-espaço gerado pelos estados $|2\rangle$ e $|3\rangle$. Portanto, os estados preparados por P_2 são da forma

$$|\psi\rangle = C_1|2\rangle + C_2|3\rangle,$$

onde C_1 e C_2 são números complexos quaisquer, não simultaneamente nulos.

(c) O hamiltoniano total após $t = 0$ é

$$H = \begin{pmatrix} E_0 & 0 & 0 \\ 0 & E & W \\ 0 & W & E \end{pmatrix}.$$

Para acharmos os auto-valores, precisamos resolver a equação secular

$$\begin{vmatrix} E_0 - \lambda & 0 & 0 \\ 0 & E - \lambda & W \\ 0 & W & E - \lambda \end{vmatrix} = 0 \Rightarrow (E_0 - \lambda) [(E - \lambda)^2 - W^2] = 0.$$

Os auto-valores são

$$\lambda_0 = E_0, \quad \lambda_+ = E + W, \quad \lambda_- = E - W.$$

Um dos auto-vetores é óbvio da forma bloco-diagonal do hamiltoniano.

$$|\lambda_0\rangle = |1\rangle$$

Os outros auto-vetores de λ_{\pm} são obtidos de

$$\begin{pmatrix} E - \lambda_{\pm} & W \\ W & E - \lambda_{\pm} \end{pmatrix} \begin{pmatrix} a_{\pm} \\ b_{\pm} \end{pmatrix} = \begin{pmatrix} \mp W & W \\ W & \mp W \end{pmatrix} \begin{pmatrix} a_{\pm} \\ b_{\pm} \end{pmatrix} = \begin{pmatrix} 0 \\ 0 \end{pmatrix},$$

donde obtém-se $a_{\pm} = \pm b_{\pm}$. Assim, normalizando os auto-vetores,

$$|\lambda_{\pm}\rangle = \frac{1}{\sqrt{2}} (|2\rangle \pm |3\rangle).$$

(d) Primeiramente, escrevemos o estado inicial $|\psi(t=0)\rangle = |2\rangle$ na base de auto-estados de H

$$|\psi(t=0)\rangle = |2\rangle = \frac{1}{\sqrt{2}} (|\lambda_+\rangle + |\lambda_-\rangle).$$

Para $t > 0$, a evolução temporal na base de auto-estados de H é simples

$$|\psi(t)\rangle = \frac{1}{\sqrt{2}} \left(e^{-i\frac{\lambda_+}{\hbar}t} |\lambda_+\rangle + e^{-i\frac{\lambda_-}{\hbar}t} |\lambda_-\rangle \right) = \frac{1}{\sqrt{2}} \left(e^{-i\frac{E+W}{\hbar}t} |\lambda_+\rangle + e^{-i\frac{E-W}{\hbar}t} |\lambda_-\rangle \right).$$

Alternativamente, na base inicial o estado é

$$\begin{aligned} |\psi(t)\rangle &= \frac{1}{2} \left[e^{-i\frac{E+W}{\hbar}t} (|2\rangle + |3\rangle) + e^{-i\frac{E-W}{\hbar}t} (|2\rangle - |3\rangle) \right], \\ |\psi(t)\rangle &= e^{-i\frac{E}{\hbar}t} [\cos(Wt/\hbar) |2\rangle - i \sin(Wt/\hbar) |3\rangle]. \end{aligned}$$

Q9. (a) A energia dos fótons $E = hc/\lambda$ é inversamente proporcional ao comprimento de onda. Portanto, os fótons espalhados, que transferiram parte de sua energia aos elétrons, têm comprimento de onda maior que os incidentes. Segue que o comprimento de onda dos raios X incidentes é λ_1 e o comprimento de onda dos fótons espalhados é $\lambda_2 > \lambda_1$.

(b) O comprimento de onda do fóton incidente é

$$\lambda_i = \frac{hc}{E_i} = \frac{1,24 \text{ keV nm}}{23 \times 10^3 \text{ eV}} = 0,54 \text{ Å}.$$

(c) O comprimento de onda do fóton espalhado é, do formulário,

$$\lambda = \lambda_i + \frac{h}{m_0 c} [1 - \cos(60^\circ)] = \lambda_i + \frac{\lambda_C}{2} = 0,54 + \frac{0,0243}{2} = 0,55 \text{ Å}.$$

(d) A variação da energia total relativística do elétron no evento é igual à variação procurada de sua energia cinética ΔK , já que a energia de repouso não varia. Como a energia cinética inicial do elétron é praticamente nula, sua energia cinética após o espalhamento é ΔK . Essa variação, por sua vez, é igual (em módulo) à variação da energia do fóton no espalhamento, ou seja,

$$\Delta K = E_i - \frac{hc}{\lambda} = 23 \text{ keV} - \frac{1,24 \text{ keV nm}}{0,055 \text{ nm}} = (23 - 22,5) \text{ keV} = 0,5 \text{ keV}.$$

Q10. a) Se o momento da partícula é $\mathbf{p} = p_x\hat{\mathbf{x}} + p_y\hat{\mathbf{y}} + p_z\hat{\mathbf{z}}$, seu hamiltoniano H_1 é a soma das energias cinética e potencial gravitacional

$$H_1 = \frac{p_x^2}{2m} + \frac{p_y^2}{2m} + \frac{p_z^2}{2m} + mgz$$

b) Por se tratar de um sistema de partículas que não interagem entre si, sua função partição Z é

$$Z = \frac{Z_1^N}{N!},$$

onde já incluímos o fator de correção de contagem de Gibbs e

$$Z_1 = \frac{1}{h^3} \int_0^L \int_0^L \int_0^L dx dy dz \int_{-\infty}^{\infty} \int_{-\infty}^{\infty} \int_{-\infty}^{\infty} dp_x dp_y dp_z e^{-\beta H_1},$$

onde $\beta = 1/(k_B T)$. As integrais gaussianas sobre os momentos são dadas no formulário e obtém-se

$$\begin{aligned} Z_1 &= \frac{L^2}{h^3} \left(\int_{-\infty}^{\infty} dp e^{-\beta \frac{p^2}{2m}} \right)^3 \int_0^L e^{-\beta mgz} dz \\ &= \frac{L^2}{h^3} \left(\frac{2\pi m}{\beta} \right)^{3/2} \left(\frac{1 - e^{-\beta mgL}}{\beta mg} \right). \end{aligned}$$

Portanto,

$$Z = \frac{1}{N!} \left[\frac{L^2}{h^3} \left(\frac{2\pi m}{\beta} \right)^{3/2} \left(\frac{1 - e^{-\beta mgL}}{\beta mg} \right) \right]^N.$$

c) Usando que $e^{-\beta mgL} \approx 1 - \beta mgL$,

$$Z \approx \frac{1}{N!} \left[\frac{L^2}{h^3} \left(\frac{2\pi m}{\beta} \right)^{3/2} \frac{(1 + \beta mgL - 1)}{\beta mg} \right]^N = \frac{1}{N!} \frac{V^N}{h^{3N}} \left(\frac{2\pi m}{\beta} \right)^{3N/2}.$$

d) A energia livre de Helmholtz é

$$F = -k_B T \ln Z = -k_B T N \ln V - k_B T \ln \left[\frac{h^{-3N}}{N!} \left(\frac{2\pi m}{\beta} \right)^{3N/2} \right].$$

Usando agora que

$$p = - \left(\frac{\partial F}{\partial V} \right)_{T,N}$$

e notando que o segundo termo da energia livre não depende de V , obtém-se

$$p = \frac{Nk_B T}{V} \Rightarrow pV = Nk_B T,$$

que é a equação de estado do gás ideal, como esperado, já que os efeitos do campo gravitacional são desprezíveis no regime em questão.